

## ผลการทดลอง

### 1. ตัวอย่างปลาและเชื้อแบคทีเรีย

#### 1.1 ตัวอย่างปลาป่วยและแหล่งของตัวอย่าง

จากการเก็บตัวอย่างปลากระพงขาวป่วยที่เลี้ยงในกระชังในช่วง ก.ย. 2546 - ธ.ค. 2546 จาก ชั่งหวัดสงขลา, ปัตตานี และสตูล ได้ตัวอย่างปลาป่วยแหล่งละ 20 ตัวอย่างรวมทั้งสิ้น 60 ตัวอย่าง และเก็บ ตัวอย่างปลาปกติแหล่งละ 10 ตัวอย่างรวมทั้งสิ้น 30 ตัวอย่าง

#### 1.2 อาการและการแยกเชื้อจากปลาป่วย

ปลาปกติที่เก็บตัวอย่างมีลักษณะปกติทั้งภายนอกและภายใน ขนาดปลาที่เก็บตัวอย่างทั้งที่ ปกติและป่วยมีขนาด 5 - 10 กรัม อาการปลาป่วยพบว่ามีลำตัวสีคล้ำ, ตาโป่ง (exophthalmus) และ浑浊 (cataract) ตากเลือดบริเวณตัวตา, ผอมเนื่องจากไม่กินอาหาร เมื่อผ่าช่องห้องตรวจดูข้อบ่งชี้ว่าภายในพบว่าตกล เลือดเล็กน้อยบริเวณตับ, สมอง ผลการเจริญเติบโตของเชื้อบนอาหารเลี้ยงเชื้อดังแสดงตามตารางที่ 2 ตรวจไม่ พบรอยเชื้อจากปลาปกติที่เก็บตัวอย่าง

อาหารปลากระพงขาวที่เกย์ตรกรให้ส่วนใหญ่จะเป็นปลาเบ็ดสัน ขนาดของชิ้นอาหารจะขึ้น กับขนาดปลาที่เลี้ยงโดยให้กินจนอิ่มและให้วันละเม็ด วันเว้นวัน คุณภาพน้ำบริเวณกระชังของแต่ละแหล่งดัง แสดงตามตารางที่ 3

## ตารางที่ 2 แสดงผลการเพาะเชื้อจากอวัยวะต่างๆ ในแต่ละแหล่งที่เก็บตัวอย่าง

แหล่งที่เก็บตัวอย่าง	อวัยวะที่นำมาเพาะเชื้อ			
	ตับ	ไต	ม้าม	สมอง
ช. สงขลา เม.ย.-พ.ค. 2547 น.ค.-ก.พ. 2548	8/20	12/20	2/20	20/20
	23/40	27/40	18/40	37/40
ช. ปัตตานี เม.ย.-พ.ค. 2547	10/20	11/20	5/20	20/20
ช. สตูล เม.ย.-พ.ค. 2547	12/20	9/20	3/20	20/20

\* หมายเหตุ ตัวอย่างที่เพาะเชื้อได้/จำนวนตัวอย่างทั้งหมด

## ตารางที่ 3 แสดงผลการวิเคราะห์คุณภาพน้ำที่เลี้ยงปลาในกระชังที่เก็บตัวอย่าง

แหล่งที่เก็บตัวอย่าง	คุณภาพน้ำ				
	pH	DO	Sal.	Alk.	NH <sub>3</sub>
ช. สงขลา	7.3	5.5	7	100	1.2
ช. ปัตตานี	8.5	5.7	20	112	0.8
ช. สตูล	8.2	5.3	28	156	0.5

DO = dissolve oxygen (ppm), Sal. = salinity (ppt), Alk. = Alkalinity (ppm), NH<sub>3</sub> (ppm)

### 1.3 ลักษณะของเชื้อแบคทีเรียที่แยกได้จากปลาป่า

เชื้อแบคทีเรียทุกตัวที่แยกได้จากปลาป่าขึ้นมาจดบันทึกลักษณะของโคโนเนียที่เจริญบนอาหารเลี้ยงเชื้อ, การขยับเม็ดเลือดบนอาหาร blood agar และนำมายากรชนิดเบื้องต้นโดยการข้อมแกรนและทดสอบ catalase

ลักษณะโคโนเนียของเชื้อที่แยกได้จากสมองปลาป่าจะมีความสม่ำเสมอ เป็นโคโนเนียสีขาวซุ่นขนาดเส้นผ่าศูนย์กลาง 0.5-1.0 มม. สามารถยื่อยเม็ดเลือดแดงได้เป็นแบบ gamma hemolysis ข้อมติดสีแกรนบวก ลักษณะเซลล์เป็น coccus ต่อกันเป็นสายยาว (chain) เมื่อนำมาทดสอบ catalase พบร่วมเป็นลบ

### 2. การแยกชนิดของเชื้อ

นำเชื้อแกรนบวก cocci มีลักษณะเป็นสายยาวมาศึกษาในรายละเอียด โดยทำการทดสอบผลทางชีวเคมีซึ่งให้ผลไก่เดียว กันทั้ง 20 isolate ดังตารางที่ 4 (แสดงผลจากตัวแทนของเชื้อทั้งหมดซึ่งให้ผลการทดสอบทางชีวเคมีที่เหมือนกัน)

ตารางที่ 4 ผลการทดสอบคุณสมบัติทางชีวเคมีของเชื้อ *Streptococcus* sp. ที่แยกได้จากปลากระเพงขาว

	เชื้อที่แยกได้จากปลากระเพงขาว	Perera et al. (1994)
Hybrid tilapia		
Gram's stain/cocci	+	+
Haemolysis	γ	β
Catalase	-	-
Oxidase	-	-
Mortality	-	-
Growth in NaCl 6.5 %	-	-
Tolerance of pH 9.6	+	-
temp 10 °C	+	+
temp 45 °C	-	+
Indole	-	NT
Pyruvate	-	-
OF - medium	-	NT
MR test	-	NT
Hippurate	-	-
Esculin	+	NT
Pyrrolidonyl 2 naphthylamide	+	NT
α-D-galactopyranoside	-	NT
β-D-glucuronate	-	NT
β-D-galactopyranoside	-	NT
2-naphthyl phosphate	-	NT
L-leucine-2-naphthylamide	-	NT
Arginine	+	+
Glycogen	-	NT
Acid from		
Glucose	+	+
Sucrose	-	+
Saccharose	-	NT
Lactose	-	-
Mannitol	+	+
Maltose	+	+
Dextrose	-	NT
Sorbitol	-	-
Ribose	+	NT
L-Arabinose	-	-
Trehalose	+	-
Inulin	-	-
Raffinose	-	-
Xylose	-	-
Hydrolysis		
Starch	+	+
Gelatin	-	-

+ = positive

- = negative

NT = not test

Perera, R.P., Johnson, S.K., and Lewis, D.H., 1997 Epizootiological aspects of *Streptococcus iniae* affecting tilapia in Texas.

Aquaculture 152 : 25 - 33.

### 3. การทดสอบการมีส่วนร่วม

จากการทดสอบการเกิดโรคของเชื้อที่แยกได้โดยนำไปปนคุณลักษณะทางพัฒนาเพื่อยืนยันผลตาม Koch's postulate พบว่าเชื้อดังกล่าวทำให้ปลากะพงขาวแสดงอาการเหมือนกับที่พบในการแยกเชื้อครั้งแรกและสามารถแยกเชื้อนิคเดิมกลับมาได้

#### 4. การทดสอบความรุนแรงของเชื้อ *Streptococcus* sp.

## การทดสอบความรุนแรงของเชื้อ

จากการทดสอบความรุนแรงของเชื้อ *Streptococcus* sp. จำนวน 20 ตัวที่ได้ทำการฉีดเข้าที่กระดับความเข้มข้นต่างๆ ให้แก่ปลากระเพงขาวขนาด 3.0 - 4.0 นิ้ว น้ำหนักเฉลี่ย  $4.97 \pm 1.24$  กรัม โดยวิธีการฉีดเข้าช่องห้องแร้งบันทึกเวลาและจำนวนปลากระเพงขาวที่ตาย นำผลที่ได้มาคำนวณค่า LD<sub>50</sub> พบร่วมกับนิคต์เข็มอยู่กับแต่ละสายพันธุ์ซึ่งอยู่ในช่วง  $1.93 \times 10^3 - 2.12 \times 10^5$  CFU/ml (ตารางที่ 5) โดยพบว่าอาการของปลากระเพงขาวที่ได้รับเชื้อ *Streptococcus* sp. มีสีลำตัวเป็นสีคล้ำ เสียการทรงตัว เคลื่อนที่ช้า แต่เมื่อได้รับเชื้อเป็นเวลานาน เกิดอาการตายทุน ตายไปห้างเดียวหรือ 2 ห้าง มีของเหลวในช่องห้องแร้ง ตับมีสีซีด ไตและม้ามบวม สมองเป็นสีหมู ได้คัดเลือกเชื้อตัวที่ให้ค่าความรุนแรงของโรคสูงสุดมาทำการศึกษาในขั้นตอนต่อไป

ตารางที่ 5 แสดงความรุนแรงของเชื้อ *Streptococcus* sp. ที่แยกได้จากปลาคีพหัวจากแหล่งต่างๆ

แหล่งของเชื้อ	LD <sub>50</sub> (CFU/ml)				
	ST-1	ST-2	ST-3	ST-4	ST-5
จ. สิงขลา	$2.15 \times 10^4$	$1.93 \times 10^3$	$2.26 \times 10^3$	$3.73 \times 10^3$	$2.54 \times 10^3$
จ. ปัตตานี	$3.72 \times 10^3$	$3.43 \times 10^3$	$1.58 \times 10^5$	$1.84 \times 10^4$	$1.22 \times 10^4$
จ. ศรีสะเกษ	$2.12 \times 10^5$	$2.94 \times 10^4$	$1.34 \times 10^5$	$1.73 \times 10^5$	$3.46 \times 10^4$

#### 5. การทดสอบความไวของเชื้อต่อยาปฏิชีวนะ

การทดสอบความไวของเชื้อต่อยาปฏิชีวนะ เมื่อนำมาเรือ *Streptococcus* sp. มาทดสอบความไวต่อยาปฏิชีวนะ โดยใช้ยา 12 ชนิด พบว่า เชื้อจะดื้อต่อยาออกโซเดินิก แอซีดและนาลิติดิอิก แอซีด แต่มีความไวต่อยาซัลฟามะที็อกซิไซด์+ไตรเมธิโพริม นอร์ฟลี็อกซิเซน ออกซีเตติร้าเซบิกลิน ชาрапลี็อกซิเซน เพนนิซิลลิน ไตรเมธิโพริม เออริโตรมัลซิน และแอมพิซิลลิน ดังแสดงไว้ในตารางที่ 6

## ตารางที่ 6 ความไวของเชื้อ *Streptococcus* sp. ต่อยาปฏิชีวนะ

ชนิดยา	วงไส (มิลลิเมตร)	แปลผล
นอร์ฟลีอิกไซดิน (NOR ; 10 µg)	29	S
ออกโซคลินิก แยซิด (OA ; 2 µg)	0	R
ออกซีเตคร้าซบคลิน (OT ; 30 µg)	30	S
ชาرافลีอิกไซดิน (SRF ; 5 µg)	28	S
ชัลฟามาเมธ็อกไซด์+ไตรเมธ โพรพิม (SXT ; 25 µg)	35	S
นาลิคิอิก แยซิด (NA ; 30 µg)	0	R
เพนนิซิลิน (P ; 10 µg)	32	S
ไตรเมธ โพรพิม (W ; 5 µg)	30	S
เออริโทร์โนบิซิน (E ; 15 µg)	30	S
แอมพิซิลิน (AMP ; 10 µg)	40	S

R = resistance    S = susceptible

## 6. ความเค็มและ pH ที่เหมาะสมในการเจริญของเชื้อ

การเจริญของเชื้อ *Streptococcus* sp. ที่ระดับ pH ต่างๆ กัน เชื้อ *Streptococcus* sp. สามารถเจริญได้ในช่วงความเป็นกรด - ค่า (pH) กว้างๆ คือ 6 – 10 โดยปริมาณของเชื้อเริ่มต้น (เวลาที่ 0) จำนวน  $4.43 \times 10^3$  CFU/ml เมื่อเวลาผ่านไป 24 ชั่วโมง พบร่วม เชื้อ *Streptococcus* sp. ที่เลี้ยงในอาหารที่มีระดับความเป็นกรด - ค่าต่างๆ จะเจริญเพิ่มขึ้น ซึ่งที่ความเป็นกรด - ค่า 9 เจริญได้ดีที่สุด ( $4.50 \times 10^{11}$  CFU/ml) รองลงมาคือ 8 และ 7 ( $2.35 \times 10^{10}$  และ  $2.25 \times 10^{10}$  CFU/ml) ตามลำดับ แต่เมื่อเวลาผ่านไป ปริมาณเชื้อลดลงเรื่อยๆ ปริมาณของเชื้อที่ระดับความเป็นกรด - ค่า 9, 8, 7 และ 6 จะเป็น  $3.65 \times 10^6$ ,  $4.50 \times 10^4$ ,  $5.15 \times 10^3$  และ  $8.35 \times 10^2$  CFU/ml ตามลำดับ (ตารางที่ 7)

การเจริญของเชื้อ *Streptococcus* sp. ที่ระดับความเค็มต่างๆ กัน พบร่วม เชื้อ *Streptococcus* sp. สามารถที่จะเจริญได้ในระดับความเค็ม ในช่วง 0 – 50 ส่วนในพันส่วน โดยปริมาณของเชื้อเริ่มต้น (เวลาที่ 0) จำนวน  $4.43 \times 10^3$  CFU/ml แต่เมื่อเวลาผ่านไป 24 ชั่วโมง พบร่วม เชื้อ *Streptococcus* sp. จะเจริญเพิ่มขึ้นในทุกระดับความเค็ม โดยที่ระดับความเค็ม 0 ส่วนในพันส่วน เจริญได้ดีที่สุด ( $2.30 \times 10^{11}$  CFU/ml) รองลงมาคือระดับความเค็ม 10 และ 20 ส่วนในพันส่วน ( $1.35 \times 10^{11}$  และ  $1.75 \times 10^{10}$  CFU/ml) ตามลำดับ แต่เมื่อระยะเวลาผ่านไป ปริมาณเชื้อเริ่มลดลงเรื่อยๆ จนถึงเวลา 120 ชั่วโมง ปริมาณของเชื้อที่ระดับความเค็ม 0, 10, 20 และ 30 ส่วนในพันส่วน จะเป็น  $1.75 \times 10^3$ ,  $3.02 \times 10^3$ ,  $3.02 \times 10^3$  และ  $3.20 \times 10^2$  CFU/ml ตามลำดับ (ตารางที่ 8)

ตารางที่ 7 การเจริญของเชื้อ *Streptococcus sp.* ที่ระดับความเป็นกรด - ต่างๆ กัน

pH	ปริมาณของเชื้อ (cfu/ml)					
	0 h	24 h	48 h	72 h	96 h	120 h
5.0	$4.43 \times 10^3$	0	0	0	0	0
6.0	$4.43 \times 10^3$	$2.30 \times 10^8$	$3.25 \times 10^6$	$2.34 \times 10^4$	$1.23 \times 10^3$	$8.35 \times 10^2$
7.0	$4.43 \times 10^3$	$2.25 \times 10^{10}$	$3.15 \times 10^8$	$7.31 \times 10^6$	$5.21 \times 10^4$	$5.15 \times 10^3$
8.0	$4.43 \times 10^3$	$2.35 \times 10^{10}$	$4.00 \times 10^8$	$5.00 \times 10^6$	$8.00 \times 10^5$	$4.50 \times 10^4$
9.0	$4.43 \times 10^3$	$4.50 \times 10^{11}$	$1.82 \times 10^{10}$	$1.17 \times 10^8$	$1.02 \times 10^7$	$3.65 \times 10^6$
10.0	$4.43 \times 10^3$	$4.50 \times 10^5$	$3.75 \times 10^4$	$7.50 \times 10^2$	$1.32 \times 10^2$	0

ตารางที่ 8 การเจริญของเชื้อ *Streptococcus sp.* ที่ความเค็มต่างๆ กัน

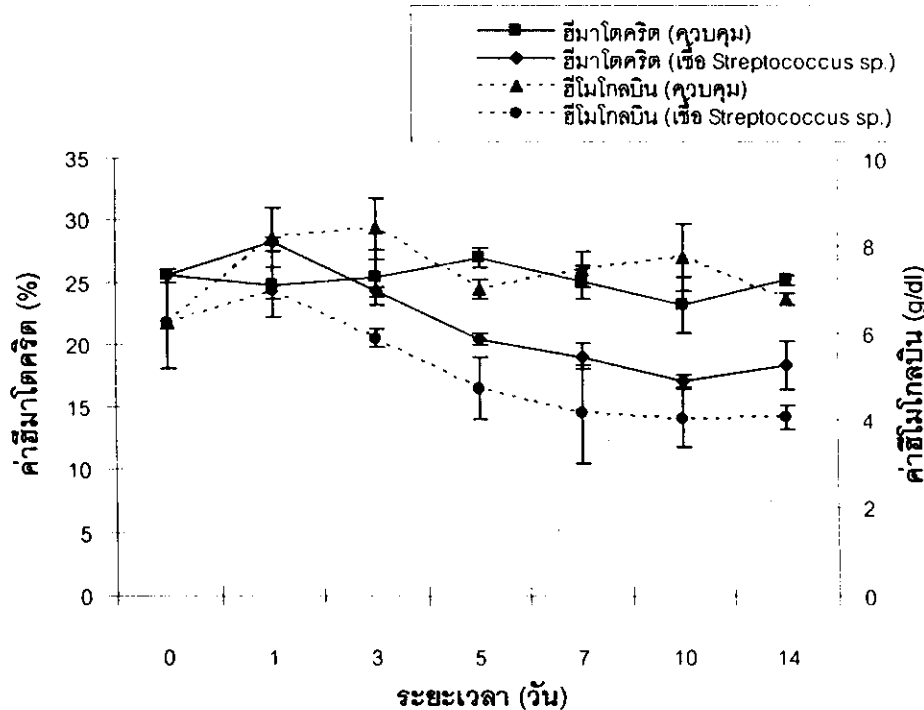
	ปริมาณของเชื้อ (cfu/ml)					
	0 h	24 h	48 h	72 h	96 h	120 h
0 ppt	$4.43 \times 10^3$	$2.30 \times 10^{11}$	$5.02 \times 10^9$	$1.44 \times 10^8$	$1.99 \times 10^6$	$1.75 \times 10^4$
10 ppt	$4.43 \times 10^3$	$1.35 \times 10^{11}$	$2.38 \times 10^9$	$2.38 \times 10^7$	$1.34 \times 10^5$	$3.02 \times 10^3$
20 ppt	$4.43 \times 10^3$	$1.75 \times 10^{10}$	$2.38 \times 10^8$	$1.50 \times 10^7$	$1.02 \times 10^5$	$3.02 \times 10^3$
30 ppt	$4.43 \times 10^3$	$3.30 \times 10^9$	$5.00 \times 10^7$	$1.34 \times 10^5$	$8.02 \times 10^3$	$3.21 \times 10^2$
40 ppt	$4.43 \times 10^3$	$1.96 \times 10^6$	$3.15 \times 10^5$	$1.02 \times 10^3$	$1.22 \times 10^2$	0
50 ppt	$4.43 \times 10^3$	$1.72 \times 10^4$	$8.00 \times 10^3$	$135 \times 10^2$	0	0

## 7. การก่อโรคของเชื้อ *Streptococcus sp.* ในปลากระเพรา

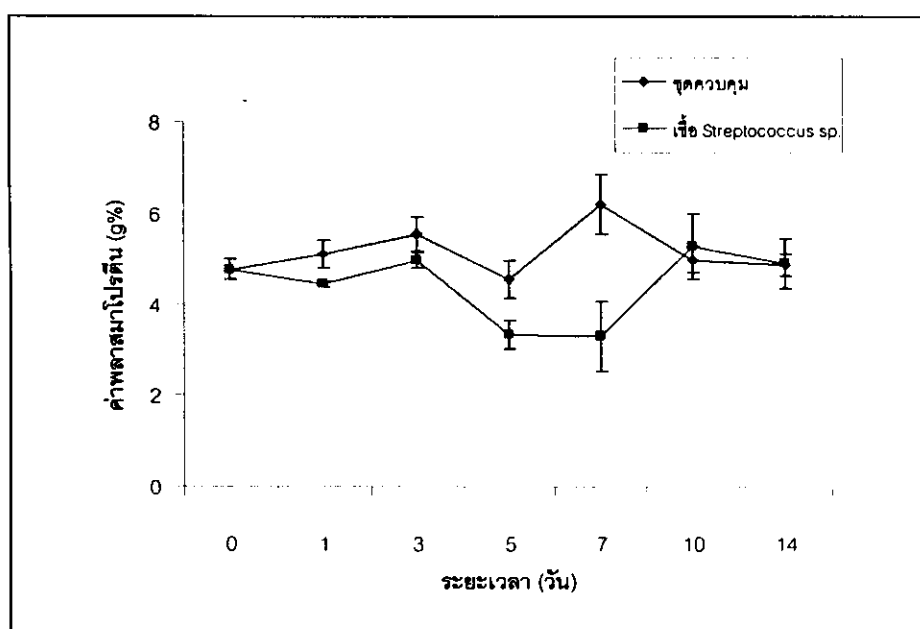
### 7.1 ผลของการติดเชื้อต่อการเปลี่ยนแปลงขององค์ประกอบน้ำเสีย

การวิเคราะห์องค์ประกอบน้ำเสียด้วยปลากระเพราที่ได้รับเชื้อ *Streptococcus sp.* ที่เวลา 1, 3, 5, 7, 10 และ 14 วัน พบว่าหลังจากปลาได้รับเชื้อ 1 วัน มีค่าเข็มโมโนคริติกมีค่าสูงกว่าชุดควบคุม แต่หลังจากนั้นจะลดลงต่ำกว่าชุดควบคุมอย่างชัดเจน โดยมีค่าต่ำสุดในวันที่ 10 หลังจากได้รับเชื้อ หลังจากนั้นค่าจะเริ่มเพิ่มขึ้นและมีแนวโน้มที่กลับเข้าสู่สภาพปกติ ค่าเข็มโมโนกรอบินมีค่าต่ำกว่าชุดควบคุม ซึ่งค่าจะลดต่ำลงตามระยะเวลาของการได้รับเชื้อ เมื่อเปรียบกับชุดควบคุม ดังภาพที่ 1 ส่วนค่าพลาสมาโปรตีนมีค่าต่ำกว่าชุดควบคุม ซึ่งค่าจะลดลงต่ำมากในวันที่ 5 และ 7 หลังจากได้รับเชื้อ แต่หลังจากนั้นค่าจะเพิ่มขึ้นอย่างรวดเร็ว และกลับเข้าสู่สภาวะปกติ ดังภาพที่ 2 สำหรับจำนวนเม็ดเลือดแดงลดลงอย่างรวดเร็วในช่วง 3 วันแรกและลดลงเรื่อยๆ ตามระยะเวลาของการได้รับเชื้อ โดยมีจำนวนเม็ดเลือดต่ำในช่วงวันที่ 7 – 14 วัน หลังจากได้รับ

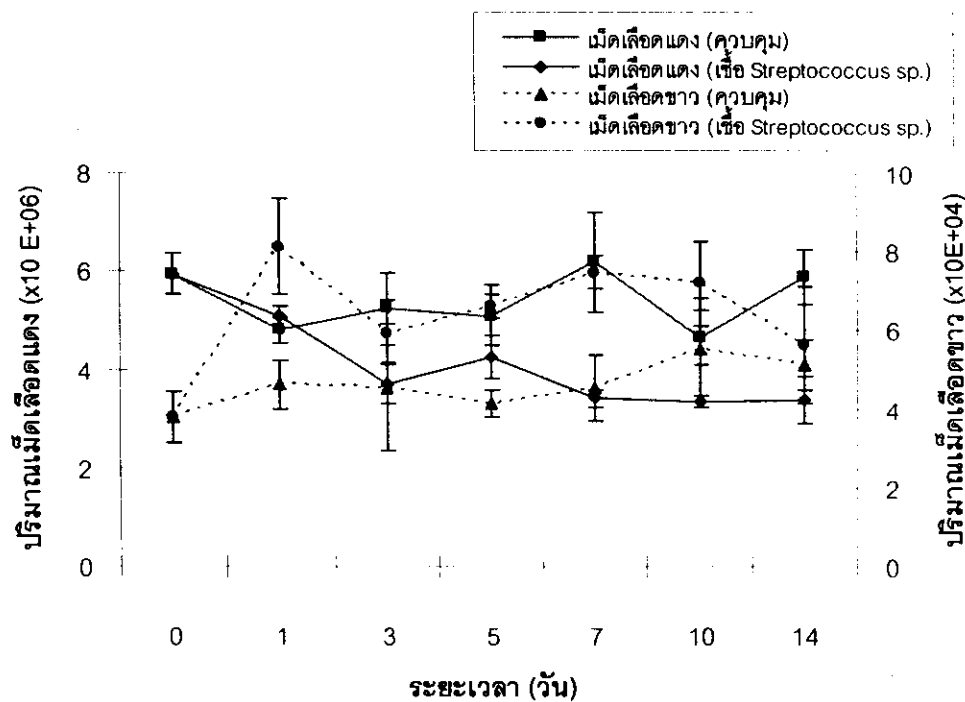
เชื้อ นอกจากนี้ยังพบว่าจำนวนเม็ดเลือดขาวจะเพิ่มขึ้นอย่างรวดเร็วในช่วงวันแรกของการได้รับเชื้อและลดลงในวันที่ 3 แต่หลังจากนั้นจะเพิ่มขึ้นเพียงเล็กน้อยและมีจำนวนที่ใกล้เคียงกับชุดควบคุมในวันที่ 14 ดังภาพที่ 3



ภาพที่ 1 เปรียบเทียบค่าอีนาトイคริตและค่าอีโนโกลบินของปلا gereพงขาวที่ได้รับเชื้อ *Streptococcus* sp. กับชุดควบคุม



ภาพที่ 2 เปรียบเทียบค่าพลาสม่าโปรตีนของปلا gereพงขาวที่ได้รับเชื้อ *Streptococcus* sp. กับชุดควบคุม



ภาพที่ 3 เปรียบเทียบปริมาณเม็ดเลือดแดงและเม็ดเลือดขาวของปلا gere พงขาวที่ได้รับเชื้อ *Streptococcus* sp. กับชุดควบคุม

## 7.2 ผลของการติดเชื้อต่อการเปลี่ยนแปลงทางด้านเนื้อเยื่อ

จากการศึกษาพยาธิสภาพของปلا gere พงขาวปักกิและที่ติดเชื้อ *Streptococcus* sp. พบว่ามีการเปลี่ยนแปลงเกิดขึ้นในหลายอย่าง ซึ่งระดับความรุนแรงของการเปลี่ยนแปลงจะขึ้นอยู่กับความรุนแรงของการติดเชื้อ การเปลี่ยนแปลงของเนื้อเยื่อของปลาที่เกิดโรคตามธรรมชาติกับปลาที่เกิดโรคจากการหนีบนำในห้องปฏิบัติการมีลักษณะคล้ายคลึงกัน

### ตับและตับอ่อน

ปลา gere พงขาวปักกิมีโครงสร้างเนื้อเยื่อตับที่มีการเรียงตัวของเซลล์ตับเป็นรูปเบี้ยบ เนื่องจากมีการสะสมไขมันและไกลโคลเจนในเซลล์ตับส่วนใหญ่จึงสังเกตเห็นว่ามีเคลือบสูญเสียให้อยู่ตรงบริเวณขอบของเซลล์ตับและนิวเคลียลสปอกติ และมีการเรียงตัวของ hepatic sinusoid ที่ชัดเจน เซลล์ตับอ่อนย้อมดีดสีเข้ม มีไซโนกรานูลที่เห็นได้ชัดเจน ปลาที่ติดเชื้อสเตรปโตโคคคัสจะทำให้โครงสร้างดังกล่าวเปลี่ยนไป hepatic sinusoid เรียงตัวไม่เป็นรูปเบี้ยบ และมีช่องว่างในเนื้อตับมากขึ้น, เกิดการตายของเซลล์ตับบริเวณที่มีการติดเชื้อ (focal necrosis), บางครั้งทำให้เซลล์ตับหล่อ死去 (atrophy) และไชนูซอฟซ์ขยายกว้างขึ้น ตับอ่อนจะหล่อ死去 รวมทั้งไชโนกรานูลในเซลล์ตับลดลง พบร่องว่างในเซลล์ตับมากขึ้น รวมถึงมีการแทรกตัวของเมลาโนแมคโครฟางเข้าสู่เนื้อเยื่อตับมากขึ้น (ภาพที่ 4-5)

## ไตและม้าม

ไตประกอบพงขาวปักติจะแบ่งเป็น 2 ส่วนคือไตตอนหน้า (anterior kidney) จะพบเนื้อเยื่อที่สร้างเม็ดเลือด (hemopoietic tissue) เป็นส่วนใหญ่, มีท่อไตเดือนน้อยแทรกอยู่ ส่วนไตตอนหลัง (posterior kidney) จะพบหน่วยไต (glomerulus), ท่อไต (renal tubule) และเนื้อเยื่อสร้างเม็ดเลือด ในขณะที่มีการติดเชื้อ *Streptococcus* sp. พบร่วมกับการแทรกตัวของเม็ดเลือดขาวชนิดอิโอดิโนฟิล (eosinophilic infiltration) บริเวณที่มีการติดเชื้อ และพบเมลามโนแมค โครฟاجจำนวนมากเข้าไปทำลายเชื้อทั้งในส่วนของไตตอนหน้า และไตตอนหลัง ลักษณะเนื้อเยื่อม้ามประกอบพงขาวปักติจะแบ่งเป็นส่วน red pulp ประกอบไปด้วยเม็ดเลือดแดงที่โตเต็มวัยและที่กำลังพัฒนา, แมค โครฟاج และ reticular cell ที่ใช้ทำลายเม็ดเลือดที่หมดอายุ ในส่วนของ white pulp ประกอบไปด้วย lymphomyeloid tissue ซึ่งมีส่วนของเม็ดน้ำเหลือง, hemoblast และแมค โครฟاجเป็นองค์ประกอบ ในปลาที่ติดเชื้อพบว่าเมลามโนแมค โครฟاجเข้ามาแทรกอยู่ในเนื้อม้ามจำนวนมาก, โครงสร้างของ red และ white pulp เสียไปและพบการสะสมของไข้โนซิเดอรินจำนวนมาก (ภาพที่ 6-10)

## หัวใจ

การติดเชื้อ *Streptococcus* sp. ทำให้มีการอักเสบของเยื่อหุ้มหัวใจย่างรุนแรง พบร่วมกับเม็ดเลือดขาวและแมค โครฟางชนิดเดอร์จำนวนมากแทรกตัวอยู่ในบริเวณเยื่อหุ้มหัวใจส่วน ventricle และ bulbus arteriosus เนื้อเยื่อหัวใจในส่วน ventricle มีการอักเสบและพน endothelial cell จำนวนมากขึ้นกินเชื้อแบบทึบเรียบ (ภาพที่ 11-13)

## ตา

ตาปลาที่ติดเชื้อ *Streptococcus* sp. ส่วนใหญ่จะมีลักษณะตาบุ่ม (cataract) อาจมีการตกเลือดร่วมด้วย ซึ่งเกิดจากการติดเชื้อบริเวณลูกตาและพบเชื้อจำนวนมากใน vitreous humor ทำให้เกิดการเสื่อมสายตาของเนื้อเยื่อตาและเลนส์ตา มีการแทรกตัวของเม็ดเลือดขาวจำนวนมากเข้าสู่บริเวณลูกลูกตาและการบวมน้ำ (edema) แต่จะมีการอักเสบมากขึ้นและเกิดการตายของเนื้อเยื่อบริเวณ choroid เกิดการตายของเนื้อเยื่อบริเวณกระชากตาและเกิดการฉีกขาดของเนื้อเยื่อตา ทำให้เกิดแพลงบริเวณแก้วตา (cornea) เลนส์ตาที่ติดเชื้อจะมีการเสื่อมสายตาและมีเชื้อแบคทีเรียอยู่เป็นจำนวนมาก (ภาพที่ 14-15)

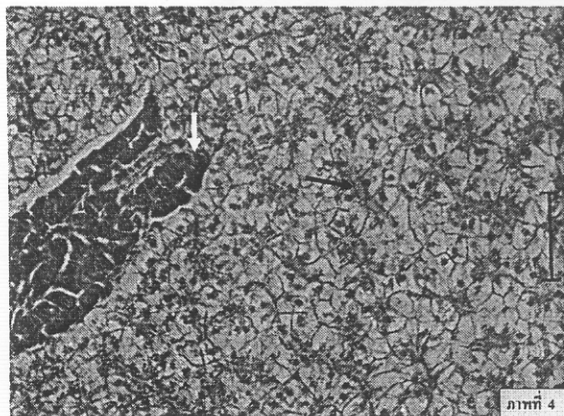
## สมอง

สมองเป็นอวัยวะสำคัญที่เชื้อ *Streptococcus* sp. เข้าทำลายได้ โดยเชื้อสามารถเข้าสู่สมองผ่านทางระบบไหลเวียนเลือด ถึงแม้ว่าสมองจะมีระบบ blood-brain barrier เพื่อป้องกันเชื้อโรค แต่เชื้อที่รุนแรงก็สามารถผ่านเข้ามาได้ สมองที่ติดเชื้อจะเกิดได้เกือบทุกส่วนยกเว้นบริเวณก้านสมอง (medulla oblongata) และไขสันหลัง (spinal cord) ที่พบการติดเชื้อน้อยหรือไม่มีเลย พยายศภาพของสมองประกอบพงขาวที่ติดเชื้อ *Streptococcus* sp. พบร่วมกับ granuloma ในบริเวณ third ventricle โดยเกิดลักษณะของการห้อมล้อมแบบ

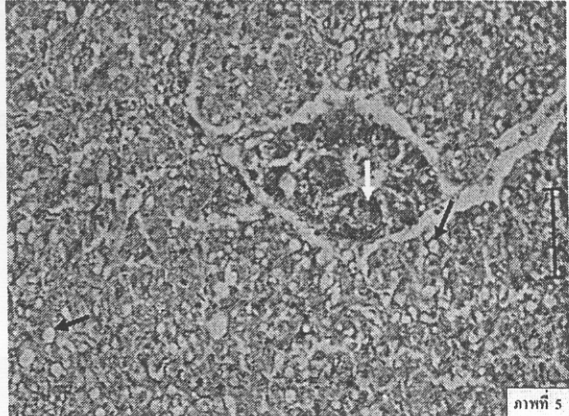
encapsulation ของเชื้อแบคทีเรียโดยมีเม็ดเลือดขาว เกิดการอักเสบของเยื่อหุ้มสมอง โดยมีเม็ดเลือดขาวจำนวนมากเข้ามาแทรกตัวอยู่ (ภาพที่ 16-17)

### เหงือก

เหงือกปลาที่ติดเชื้อพบว่ามีการเชื่อมติดกันของชั้nehنجอก (fusion of gill lamella) ซึ่งอาจเกิดเป็นบริเวณหรือเกิดทั้งชั้nehنجอก ในกรณีที่รุนแรงพบว่าการเชื่อมติดกันจะทำให้เกิดลักษณะของ club shape ของชั้nehنجอก ซึ่งมีผลต่อการหายใจ



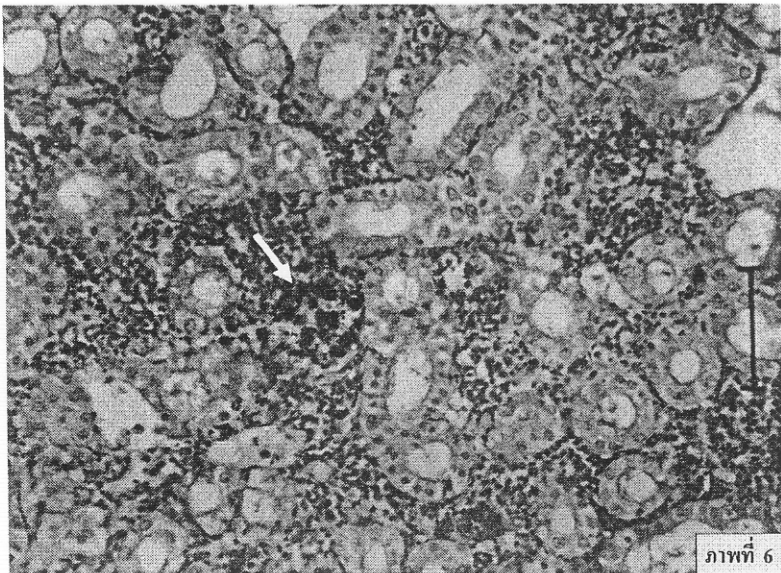
ภาพที่ 4



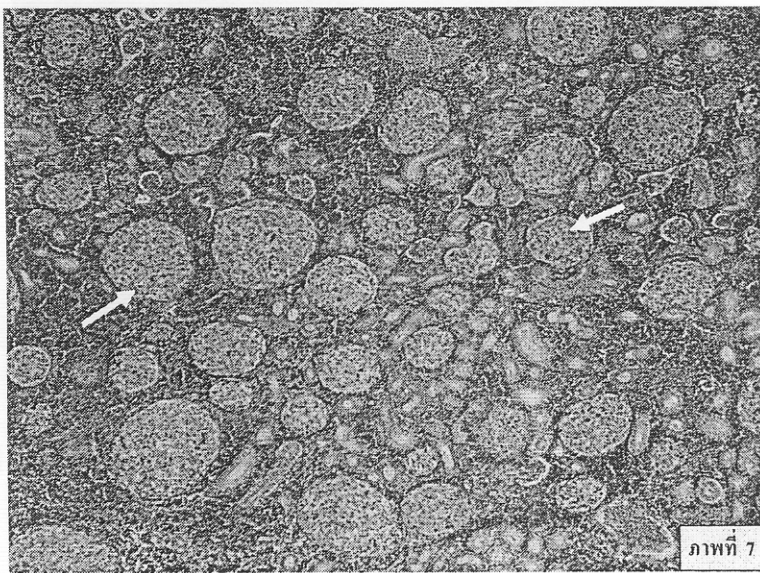
ภาพที่ 5

ภาพที่ 4 ตับปลากระพงขาวปกติ แสดงให้เห็นโครงสร้างเนื้อเยื่อตับเรียงตัวเป็นระเบียบ มีลักษณะเซลล์ปกติ ลูกศรสีดำชี้แสดง hepatic sinusoid, ลูกศรสีขาวแสดงเนื้อเยื่อตับอ่อนปกติ, ย้อมสี H&E, (เส้นปีกขนาด 50μm)

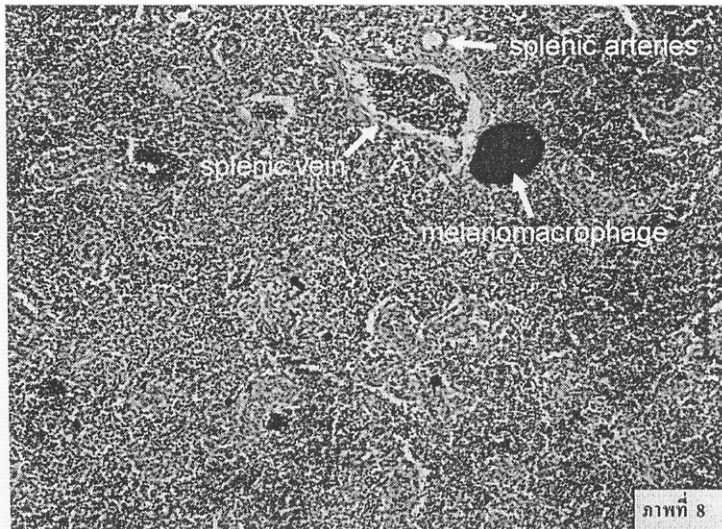
ภาพที่ 5 ตับปลากระพงขาวติดเชื้อ *Streptococcus sp.* ทำให้สูญเสียโครงสร้างของเนื้อเยื่อตับ พบร่องว่างในเซลล์ตับมากขึ้น (ครรภ์สีดำ) พบรูมีเซลล์ตายบางส่วน ครรภ์สีขาวแสดง pancreatic acinar ที่ยังมีไขมันกรานูลอยู่, ย้อมสี H&E, (เส้นปีกขนาด 50μm)



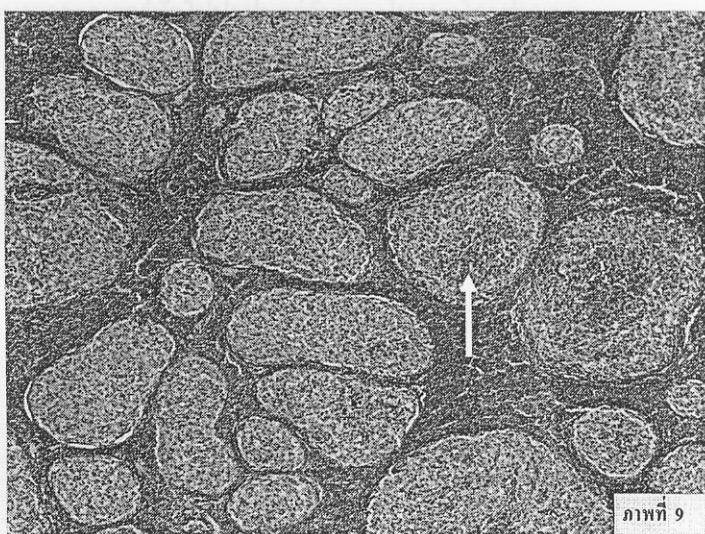
ภาพที่ 6 ไตส่วนหลัง (Posterior kidney) ปลากระพงขาวปกติแสดงให้เห็นถึงท่อไตอวัยวะสร้างเม็ดเลือดปกติ พบรเมาโนแมคโครฟ่าจกระจาอยู่เล็กน้อย (ครรซีขาว),  
ข้อมูล H&E, (เส้นปีกขนาด 50 μm)



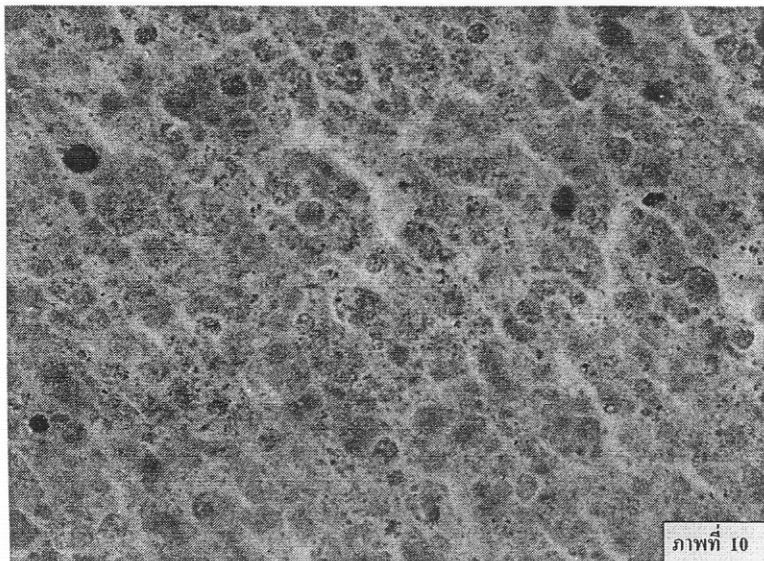
ภาพที่ 7 ไตปลากระพงขาวติดเชื้อ *Streptococcus sp.* พบรเมาโนแมคโครฟ่าจำนวนมาก  
แทรกตัวเข้ามาในเนื้อเยื่อไต (ครรซีขาว) ท่อไตและ hemopoeitic tissue บั่งคุบปกติ,  
ข้อมูล H&E, (กำลังขยาย 20 เท่า)



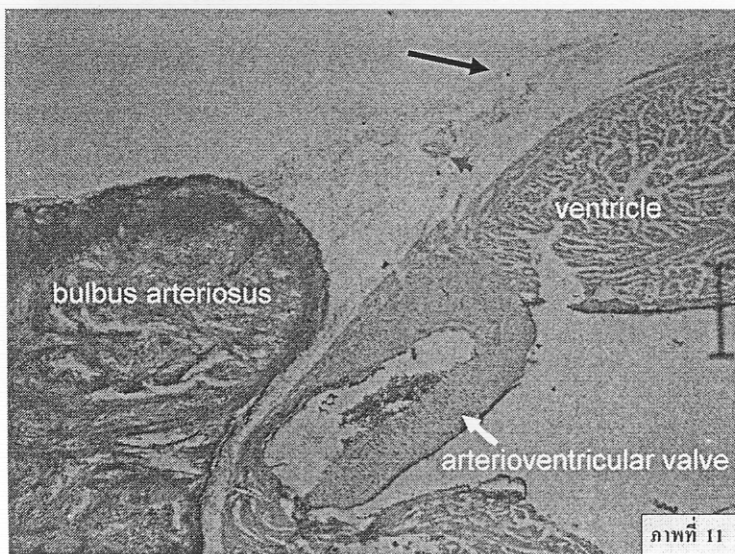
ภาพที่ 8 ม้ามปลากระพงขาวปกติ แสดงโครงสร้างปกติของ red pulp และ white pulp มีเมลามาโนแมคโครฟاج กระจายอยู่เล็กน้อย , บื้อมสี H&E , (เต็้นขีดขนาด 200 μm)



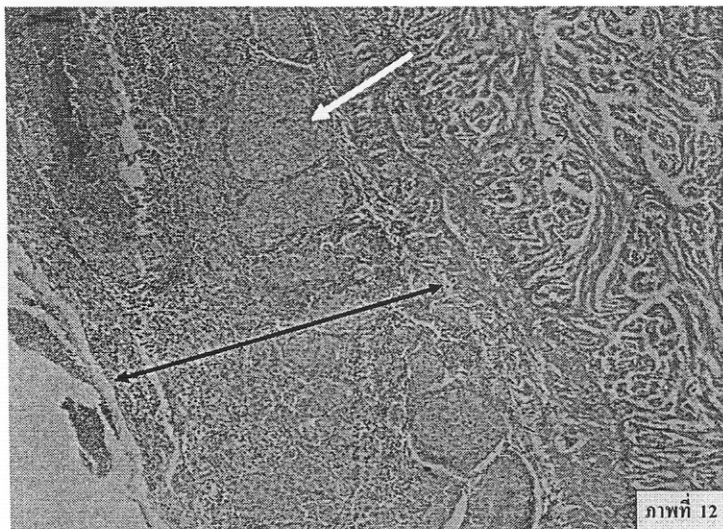
ภาพที่ 9 ม้ามปลากระพงขาวติดเชื้อ *Streptococcus* sp. พนเมลามาโนแมคโครฟاجขนาดใหญ่ และจำนวนมาก (ครชี) แทรกเข้ามาในเนื้อเยื่อม้าม , บื้อมสี H&E, (กำลังขยาย 20 เท่า)



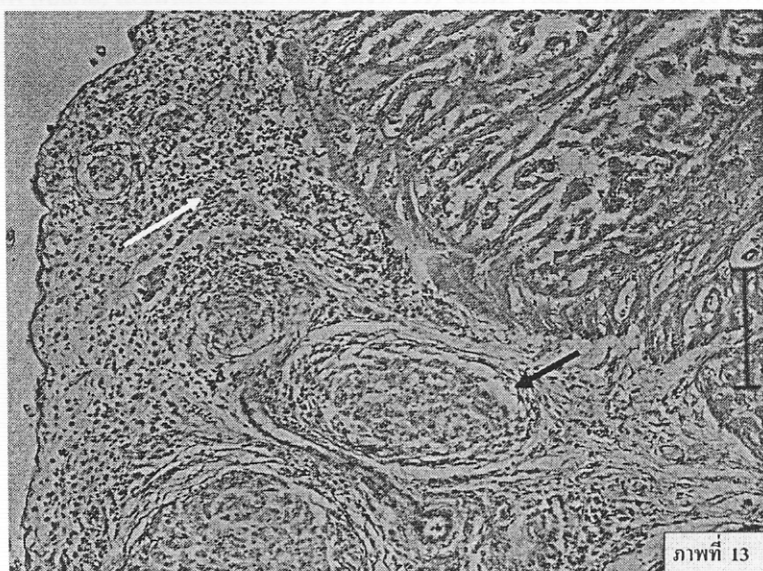
ภาพที่ 10 ภาพขยายของเมลามาโนแมคโครฟاجเซนเตอร์ในเนื้อเยื่อม้าม พนแบบที่เรียบประกอบ  
จำนวนมากกระจาอยู่ทั่วไปปะปนอยู่กับเมลามาโนแมคโครฟاجเซล,  
ข้อมสี Geimsa's, (กำลังขยาย 500 เท่า)



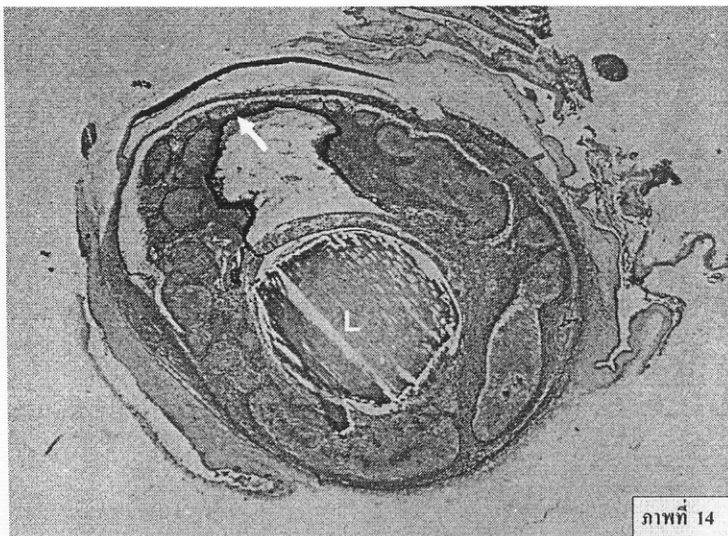
ภาพที่ 11 เนื้อเยื่อหัวใจปلاกพงขาวปกติ, แสดงเยื่อหุ้มหัวใจ (epicardium) ปกติ มีเส้นเลือด  
(cardiac artery) หรือแดงนำเลือดมาเลี้ยงหัวใจ กล้ามเนื้อส่วน bulbus arteriosus และ ventricle ปกติ,  
ข้อมสี H&E , (เส้นขีดขนาด 200  $\mu\text{m}$ )



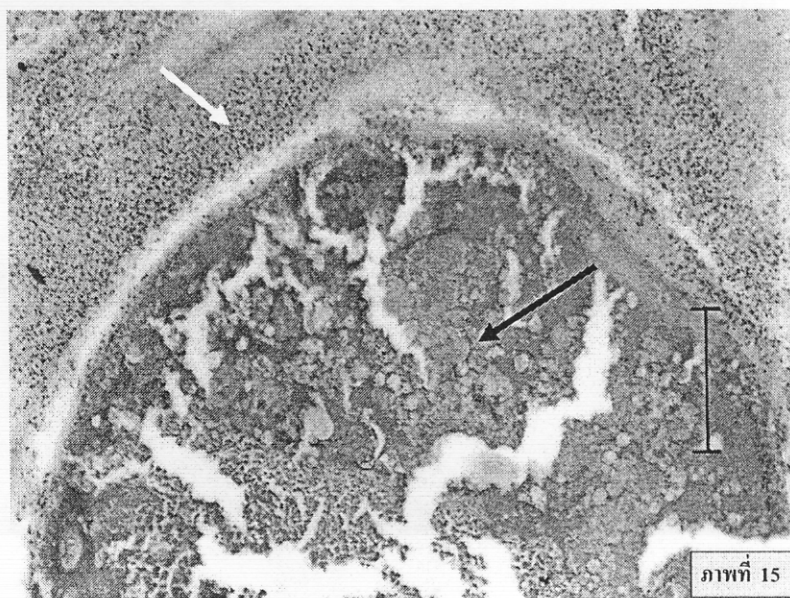
ภาพที่ 12 เนื้อเยื่อหัวใจปلاกำพงขาวติดเชื้อ *Streptococcus sp.* พบร่วมเนื้อหุ้มหัวใจหนาขึ้น (ครสีดำ) และมีเม็ดเลือดขาวและแม่คิโกรฟاجขนาดใหญ่จำนวนมากแทรกตัวเข้ามา (ครสีขาว)  
พบรการอักเสบของกล้ามเนื้อหัวใจส่วน ventricle , ช้อมสี H&E , (กำลังขยาย 20 เท่า)



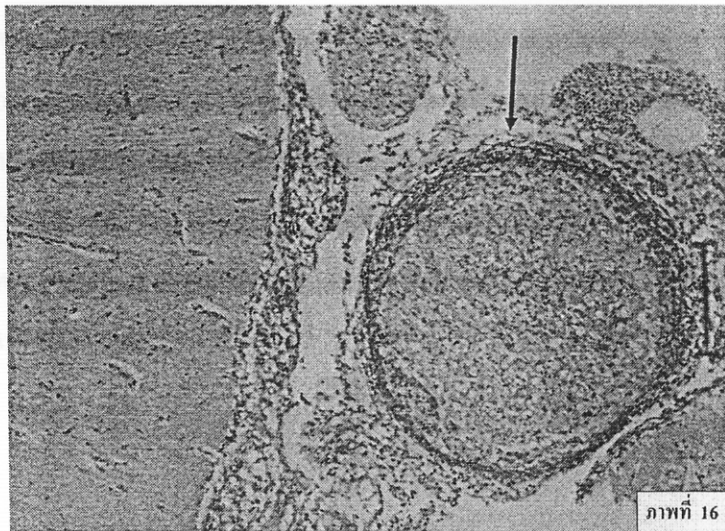
ภาพที่ 13 เนื้อเยื่อหัวใจปلاกำพงขาวติดเชื้อ *Streptococcus sp.* พบรการอักเสบอย่างรุนแรง  
บริเวณเยื่อหุ้มหัวใจ, เมลาโนแมคโกรฟاجขนาดใหญ่ที่จับกินเซลล์แบบที่เรียกว่า ก้อนล้อมด้วย  
เม็ดเลือดขาว (encapsulation) (ครสีดำ) ในขณะที่เม็ดเลือดขาวจำนวนมากเข้ามายังบริเวณนี้  
(ครสีขาว) , ช้อมสี H&E, (เส้นผ่าศูนย์กลาง 100 μm)



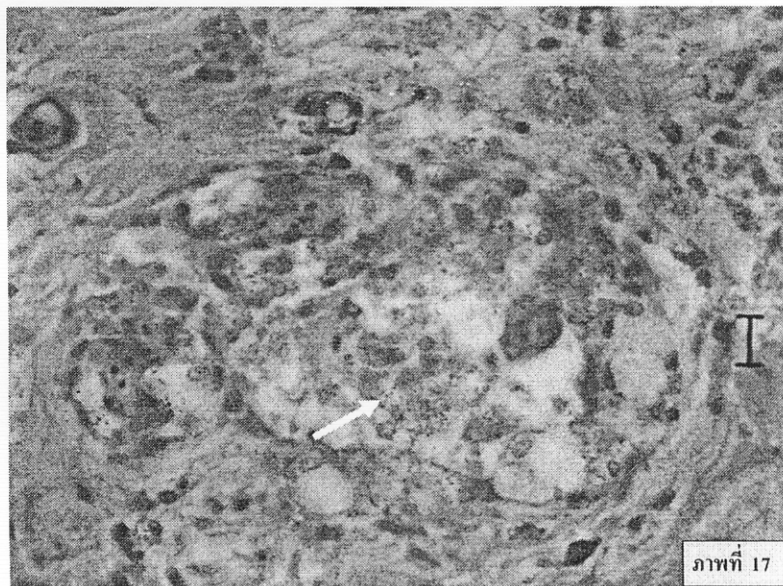
ภาพที่ 14 ตาป่วยพงขาวติดเชื้อ *Streptococcus* sp. ที่มีลักษณะงุ่น (cataract) และ เลนส์ตาเสื่อมสภาพ (L) และเกิดการอักเสบอย่างรุนแรง และมีเม็ดเลือดขาวและแมคโครฟางขนาดใหญ่จำนวนมากแทรกตัวเข้าไปอยู่ในส่วนของน้ำในลูกตา (vitreous humor) เพื่อกำจัดเชื้อแบคทีเรีย , บริเวณจอรับภาพ (retina) เสื่อมสายและหดตัว (ศรีสีขาว) ข้อมูล H&E (กำลังขยาย 10 เท่า)



ภาพที่ 15 ตาป่วยพงขาวที่มีลักษณะงุ่น (cataract) พบรการเสื่อมสายของเลนส์ตาอย่างรุนแรงมีแคปซูลขนาดเล็กจำนวนมากภายในมีเซลล์แบคทีเรีย (ศรีสีดำ) ในขณะที่รอบเลนส์ตาจะ มีเม็ดเลือดขาว และเซลล์ตายจำนวนมาก อยู่ในส่วนของ vitreous humor (ศรีสีขาว), ข้อมูล H&E , ( เส้นผ่าศูนย์กลาง 200 μm)



ภาพที่ 16 สมองปลา gere พงขาวติดเชื้อ *Streptococcus* sp. เกิด granuloma ขนาดใหญ่ในส่วนของ third ventricle ของสมองและถูกห้อมล้อม (encapsulated) ด้วยเม็ดเลือดขาวจำนวนมาก ย้อมสี H&E (เส้นขีดขนาด 100 μm)



ภาพที่ 17 ภาพขยายเนื้อเยื่อสมองส่วนกลางที่ติดเชื้อ *Streptococcus* sp. พนเซลแบคทีเรียจำนวนมาก ในบริเวณนี้ (ครชี), ย้อมสี Geimsa's, (เส้นขีดขนาด 10 μm)

### 7.3 ผลการศึกษาการเจริญเติบโตของเชื้อในอวัยวะต่าง

การเจริญเติบโตของเชื้อ *Streptococcus* sp. ในตัวปลาหลังจากได้รับเชื้อโดยการฉีดเข้าช่องท้อง ที่ปริมาณเชื้อ  $4.80 \times 10^7$  CFU/ml แล้วตรวจปริมาณของเชื้อจากอวัยวะต่างๆ ได้แก่ ตับ ไต ม้าม สมอง และเลือด พนว่าเมื่อได้รับเชื้อไปแล้ว 24 ชั่วโมง ปริมาณเชื้อจะเพิ่มมากขึ้นในทุกอวัยวะ โดยพนว่า ITEM ปริมาณของเชื้อสูงที่สุด ( $6.91 \times 10^{11}$  CFU/ml) แต่เมื่อเวลาผ่านไป 2 วัน ปริมาณของเชื้อจะเริ่มลดลงในทุกอวัยวะ นอกจากนี้ยังพบว่าปริมาณของเชื้อในเลือดจะลดลงอย่างรวดเร็วและไม่สามารถพบเชื้อได้ในวันที่ 6 หลังจากได้รับเชื้อ ดังแสดงในตารางที่ 9

ตารางที่ 9 แสดงการเจริญเติบโตของเชื้อในอวัยวะต่างๆ หลังจากฉีดเชื้อ (ปริมาณเชื้อ cfu/g เนื้อเยื่อ)

อวัยวะ	ระยะเวลา (วัน)						
	1	2	3	4	5	6	7
เลือด	$2.44 \pm 3.44 \times 10^{11}$	$9.45 \pm 1.16 \times 10^8$	$4.54 \pm 1.97 \times 10^7$	$1.89 \pm 2.16 \times 10^6$	$5.28 \pm 1.72 \times 10^3$	0	0
ตับ	$5.14 \pm 0.72 \times 10^{11}$	$5.39 \pm 0.82 \times 10^{11}$	$9.41 \pm 2.92 \times 10^{10}$	$1.78 \pm 2.47 \times 10^{10}$	$1.39 \pm 2.88 \times 10^9$	$1.81 \pm 0.59 \times 10^8$	$2.45 \pm 3.07 \times 10^7$
ไต	$6.91 \pm 2.79 \times 10^{11}$	$3.60 \pm 2.46 \times 10^{10}$	$2.89 \pm 2.41 \times 10^9$	$1.75 \pm 2.55 \times 10^9$	$1.13 \pm 1.60 \times 10^9$	$6.94 \pm 2.17 \times 10^8$	$2.83 \pm 2.32 \times 10^7$
ม้าม	$1.75 \pm 0.33 \times 10^{11}$	$1.10 \pm 4.26 \times 10^{10}$	$5.34 \pm 2.68 \times 10^9$	$1.25 \pm 2.73 \times 10^9$	$3.99 \pm 1.26 \times 10^8$	$2.03 \pm 0.96 \times 10^8$	$1.32 \pm 2.89 \times 10^7$
สมอง	$6.66 \pm 2.12 \times 10^{10}$	$6.49 \pm 1.41 \times 10^9$	$7.48 \pm 3.94 \times 10^9$	$2.43 \pm 1.40 \times 10^8$	$1.88 \pm 1.15 \times 10^8$	$1.32 \pm 2.71 \times 10^8$	$2.66 \pm 2.04 \times 10^6$

ค่าเฉลี่ย  $\pm$  ค่าเบี่ยงเบนมาตรฐาน จากปัจจัยจำนวน 10 ตัว

## 8. การผลิตแอนติซีรัมต่อเชื้อ *Streptococcus* sp. จากกระต่าย

เมื่อทดสอบระดับความเข้มข้นของแอนติบอดี้จากเดียดกระต่ายโดยวิธีการตกตะกอนในหลอด พนบฯ ระดับของแอนติบอดี้ที่ได้สูงถึง 1: 25,600 และสามารถทำให้เกิดการเกาะกลุ่มของเชื้อได้อย่างชัดเจน

## 9. Cross protection และ cross immunity ของเชื้อ *Streptococcus* sp.

พนบฯ เชื้อที่นำมาทำวัคซีน (สายพันธุ์ ST-2 สงขลา) สามารถให้ความคุ้มโรคได้หลังจากได้รับเชื้อตัวเดิมและได้รับเชื้อสายพันธุ์อื่น ซึ่งแสดงให้เห็นว่าเชื้อ *Streptococcus* สามารถเกิด cross protection ได้เมื่อนำมาทำเป็นวัคซีน (ตารางที่ 10)

ตารางที่ 10 แสดงค่า RPS (relative percent survival) ของปลาที่ได้รับวัคซีนและนำมายีดเชื้อที่ต่างสายพันธุ์

ชุดทดลอง	สายพันธุ์ที่นำมาทดสอบ	
	ST-2 สงขลา	ST-1 ปัตตานี
ชุดควบคุม	-	-
ชุดน้ำด้วนวัคซีน	80	75

## Cross immunity ของเชื้อ *Streptococcus*

พนบฯ เชื้อ *Streptococcus* sp. สายพันธุ์ที่แยกได้จากที่ต่างๆ สามารถเกิดการตกตะกอนกับแอนติซีรัมที่เตรียมได้จากเชื้อสายพันธุ์ ST-2 สงขลา และคงให้เห็นถึงลักษณะของ cross reaction ของเชื้อสายพันธุ์ต่างๆ ที่มีความใกล้เคียงกัน

## 10. การทดสอบความป่องดักย์และ sterility ของวัคซีน

วัคซีนที่เตรียมได้นำมาเพาะบนอาหารเลี้ยงเชื้อ TSA และบ่มไว้เป็นเวลา 24 – 48 ชั่วโมง ไม่พบการเจริญเติบโตของเชื้อ จึงสรุปได้ว่าวัคซีนที่เตรียมได้ป่องดักเชื้อ (sterile)

จากการให้วัคซีนทั้ง 3 แบบ คือการฉีดเข้าช่องห้องชcache และกิน พนบฯ ไม่มีผลต่อป้ำกระเพงขาวในทุกกลุ่มของการทดลอง โดยไม่พบความผิดปกติภายนอกและไม่มีการตายเกิดขึ้น เมื่อเลี้ยงไว้นาน 7 วัน หลังจากที่ได้รับวัคซีนและป้ำมีความแข็งแรงรวมถึงกินอาหารปกติ ดังนั้นอาจกล่าวได้ว่าวัคซีนที่ผลิตขึ้นมามีความป่องดักย์ในการใช้ในป้ำกระเพงขาว

## 11. การตอบสนองของปลาสเตชันที่ได้รับวัคซีนในปริมาณที่แตกต่างกัน

การทดสอบการตอบสนองต่อปริมาณเชลล์วัคซีนในปลาสเตชัน ในป้าชุดควบคุม ฉีดค้างวัยน้ำนมลีอเข้มข้น 0.85 เปอร์เซ็นต์ สำหรับชุดทดลองจะแบ่งการทดลองออกเป็น 3 ชุดการทดลอง คือ ฉีดวัคซีนที่ปริมาณเชลล์ของวัคซีนเท่ากับ  $2.50 \times 10^8$ ,  $2.50 \times 10^9$  และ  $2.50 \times 10^{10}$  CFU/ml หลังจากได้รับวัคซีนไปแล้ว 10, 20 และ 30 วัน จึงฉีดเชื้อ *Streptococcus* sp. ที่ค่า LD<sub>50</sub> จากนั้นวิเคราะห์ค่าต่างๆ ได้แก่ อัตราการตาย ความสัมพันธ์เปอร์เซ็นต์การลดตาย (RPS) และค่าแอนติบอดี้ไทด์อเรอร์ พบร่วมอัตราการตายของปลาสเตชันที่ 10 วันหลังจากได้รับวัคซีน ที่ปริมาณเชลล์วัคซีน  $2.50 \times 10^8$  และ  $2.50 \times 10^9$  CFU/ml ไม่มีความแตกต่างกันทางสถิติ มีค่าเท่ากับ 36.67 และ 36.67 เปอร์เซ็นต์ ตามลำดับ และที่ 20 วัน ที่ปริมาณเชลล์ของวัคซีน  $2.50 \times 10^9$  และ  $2.50 \times 10^{10}$  CFU/ml ไม่มีความแตกต่างกันทางสถิติ มีค่าเท่ากับ 64 และ 72 เปอร์เซ็นต์ ตามลำดับ สำหรับที่ 30 วัน อัตราการตายของปลาสเตชัน มีความแตกต่างทางสถิติ ( $p<0.05$ ) ในแต่ละปริมาณเชลล์วัคซีน มีค่าเท่ากับ 80.00, 66.67 และ 40.00 เปอร์เซ็นต์ ตามลำดับ (ตารางที่ 11)

ส่วนความสัมพันธ์เปอร์เซ็นต์การลดตาย (RPS) พบร่วมที่ 10 วัน ค่า RPS ไม่มีความแตกต่างกันที่ปริมาณเชลล์ของวัคซีน  $2.50 \times 10^8$  และ  $2.50 \times 10^9$  CFU/ml (RPS = 55.99 เปอร์เซ็นต์) แต่มีความแตกต่างกับชุดที่ปริมาณเชลล์วัคซีน  $2.50 \times 10^{10}$  CFU/ml ที่มีค่า RPS เท่ากับ 80 เปอร์เซ็นต์ และที่ 20 วัน ค่า RPS ปริมาณเชลล์วัคซีน  $2.50 \times 10^9$  และ  $2.50 \times 10^{10}$  CFU/ml (RPS = 64 และ 72 เปอร์เซ็นต์) ไม่มีความแตกต่างกับชุดที่ปริมาณเชลล์วัคซีน  $2.50 \times 10^8$  CFU/ml ที่มีค่า RPS เท่ากับ 48 เปอร์เซ็นต์ ส่วนที่ 30 วัน พบร่วมค่า RPS ทั้ง 3 มีความแตกต่างกันทางสถิติ ( $p<0.05$ ) มีค่า RPS เท่ากับ 14.28, 28.57 และ 57.14 เปอร์เซ็นต์ ตามลำดับ (ตารางที่ 11 และภาพที่ 18)

นอกจากนี้ค่าแอนติบอดี้ไทด์อเรอร์ในชุดที่ได้รับวัคซีนและในชุดที่ไม่ได้รับวัคซีน มีความแตกต่างกันทางสถิติ ( $p<0.05$ ) โดยพบร่วมชุดควบคุมมีค่าแอนติบอดี้ไทด์อเรอร์เท่ากับ 0 ส่วนชุดที่ได้รับวัคซีนปริมาณเชลล์วัคซีนแตกต่างกัน จะมีความแตกต่างกันทางสถิติ คือ ที่ 10 วัน พบร่วมค่าแอนติบอดี้ไทด์อเรอร์ในแต่ละปริมาณเชลล์วัคซีนมีความแตกต่างกันทางสถิติ ( $p<0.05$ ) โดยที่ปริมาณเชลล์วัคซีน  $2.50 \times 10^{10}$  CFU/ml มีค่าแอนติบอดี้ไทด์อเรอร์สูงสุด เท่ากับ 1:64 ส่วนที่ 20 วัน ในชุดควบคุมและปริมาณเชลล์วัคซีน  $2.50 \times 10^8$  CFU/ml (1:32) ค่าแอนติบอดี้ไทด์อเรอร์ไม่มีความแตกต่างกันทางสถิติ แต่มีความแตกต่างกันทางสถิติที่ปริมาณเชลล์วัคซีน  $2.50 \times 10^9$  CFU/ml มีค่า 1:64 และที่ปริมาณเชลล์วัคซีน  $2.50 \times 10^{10}$  CFU/ml เท่ากับ 1:128 และที่ 30 วัน ในชุดควบคุมและปริมาณเชลล์วัคซีน  $2.50 \times 10^8$  CFU/ml (1:4) ค่าแอนติบอดี้ไทด์อเรอร์ไม่มีความแตกต่างกันทางสถิติ แต่มีความแตกต่างกันทางสถิติที่ปริมาณเชลล์วัคซีน  $2.50 \times 10^9$  CFU/ml (1:8) และที่ปริมาณเชลล์วัคซีน  $2.50 \times 10^{10}$  CFU/ml เท่ากับ 1:16 (ตารางที่ 12 และภาพที่ 19)

ดังนั้นปริมาณเชลล์วัคซีนที่ระดับ  $2.50 \times 10^{10}$  CFU/ml จะให้ความคุ้มโรค (RPS) และแอนติบอดี้คือที่สูง

ตารางที่ 11 เปรียบเทียบอัตราการตาย (%) และความสัมพันธ์เปอร์เซ็นต์การลดตาย (RPS) ของปลาสเตฟ  
ขาวที่ได้รับวัคซีนในปริมาณเฉลี่ยของวัคซีนต่างกัน

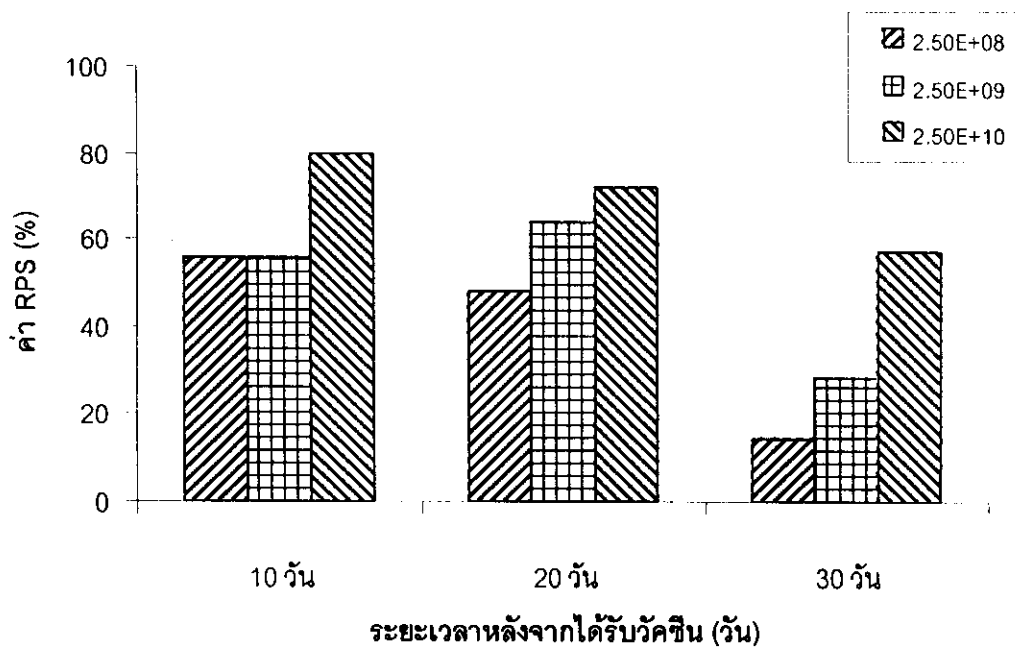
ปริมาณเฉลี่ยของ วัคซีน (CFU)	จำนวนวันหลังจากได้รับวัคซีน					
	10 วัน		20 วัน		30 วัน	
	อัตราการ ตาย (%)	ค่า RPS (%)	อัตราการ ตาย (%)	ค่า RPS (%)	อัตราการ ตาย (%)	ค่า RPS (%)
ชุดควบคุม	83.33 <sup>a</sup>	-	83.33 <sup>a</sup>	-	93.33 <sup>a</sup>	-
$2.5 \times 10^8$	36.67 <sup>b</sup>	55.99 <sup>a</sup>	43.33 <sup>b</sup>	48.00 <sup>a</sup>	80.00 <sup>b</sup>	14.28 <sup>a</sup>
$2.5 \times 10^9$	36.67 <sup>b</sup>	55.99 <sup>a</sup>	30.00 <sup>c</sup>	64.00 <sup>b</sup>	66.67 <sup>c</sup>	28.57 <sup>b</sup>
$2.5 \times 10^{10}$	16.67 <sup>c</sup>	80.00 <sup>b</sup>	23.33 <sup>c</sup>	72.00 <sup>b</sup>	40.00 <sup>d</sup>	57.14 <sup>c</sup>

ตัวเลขในแนวนี้ที่กำกับด้วยตัวอักษรต่างกัน มีความแตกต่างกันอย่างมีนัยสำคัญทางสถิติที่ระดับความเชื่อมั่น 95 เปอร์เซ็นต์ ( $p < 0.05$ )

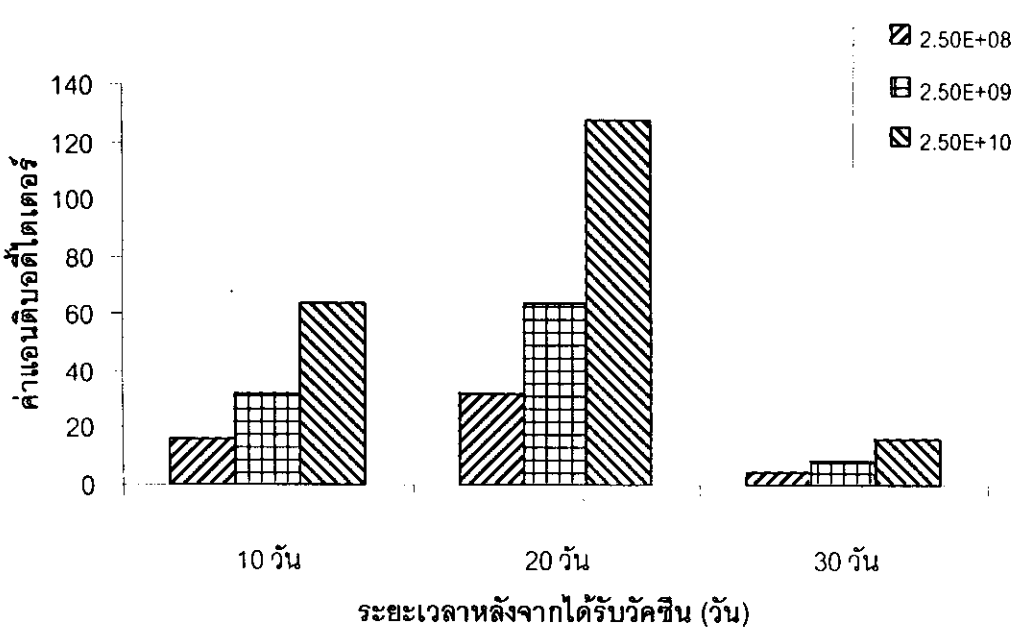
ตารางที่ 12 เปรียบเทียบค่าแอนติบอดี้ต่อเรื่องของปลาสเตฟขาวที่ได้รับวัคซีนในปริมาณเฉลี่ยวัคซีนต่างๆ

จำนวนวัน หลังจากได้รับ วัคซีน	ค่าแอนติบอดี้ต่อเรื่อง			
	ชุดควบคุม	$2.50 \times 10^8$	$2.50 \times 10^9$	$2.50 \times 10^{10}$
10 วัน	0 <sup>a</sup>	1:16 <sup>b</sup>	1:32 <sup>c</sup>	1:64 <sup>d</sup>
20 วัน	0 <sup>a</sup>	1:32 <sup>ab</sup>	1:64 <sup>b</sup>	1:128 <sup>c</sup>
30 วัน	0 <sup>a</sup>	1:4 <sup>ab</sup>	1:8 <sup>b</sup>	1:16 <sup>c</sup>

ตัวเลขในแนวนอนที่กำกับด้วยตัวอักษรต่างกัน มีความแตกต่างกันอย่างมีนัยสำคัญทางสถิติที่ระดับความเชื่อมั่น 95 เปอร์เซ็นต์ ( $p < 0.05$ )



ภาพที่ 18 เปรียบเทียบค่า RPS ของวัคซีนในปลากระเพงขาวที่ได้รับวัคซีนที่ความเข้มข้นต่างๆ กัน คือ  $0$ ,  $2.50 \times 10^8$ ,  $2.50 \times 10^9$  และ  $2.50 \times 10^{10}$  CFU/ml โดยทำการวิเคราะห์วันที่ 10, 20 และ 30 วันหลังจากเริ่มให้วัคซีน



ภาพที่ 19 เปรียบเทียบค่าแอนติบอดี้ไทด์อเร็รของปลากระเพงขาวที่ได้รับวัคซีนที่ความเข้มข้นต่างๆ กัน คือ  $0$ ,  $2.50 \times 10^8$ ,  $2.50 \times 10^9$  และ  $2.50 \times 10^{10}$  CFU/ml โดยทำการวิเคราะห์วันที่ 10, 20 และ 30 วันหลังจากเริ่มให้วัคซีน

## 12. ผลการศึกษาวิธีการให้วัคซีนด้วยวิธีการฉีด

### การให้วัคซีนด้วยวิธีการฉีด

ในการทดลองจะให้วัคซีนด้วยวิธีการฉีด 2 แบบ คือ การฉีดวัคซีนไม่ผสม CFA (Complete Freund's Adjuvant) และการฉีดวัคซีนผสม CFA ที่อัตรา 1:1 จากนั้นเก็บข้อมูลมาวิเคราะห์อัตราการตาย ค่า RPS และค่าแอนติบอดี้ไทด์อร์ ในวันที่ 10, 20 และ 30 วัน หลังจากเริ่มฉีดวัคซีน

#### อัตราการตาย

หลังจากฉีดเชื้อ *Streptococcus sp.* ให้แก่ปลาที่ได้รับวัคซีน แล้วคำนวณค่าอัตราการตายของปลากระพงขาว ที่ได้รับวัคซีนด้วยวิธีการฉีดวัคซีนไม่ผสม CFA กับ การฉีดวัคซีนผสม CFA ที่ 10, 20 และ 30 วันหลังจากฉีดวัคซีน พบร่วมที่ 10 วัน การให้วัคซีนด้วยวิธีการฉีดทั้ง 2 แบบ ทำให้ปลามีการลดตาย 100 เปอร์เซ็นต์ ซึ่งไม่มีความแตกต่างกันทางสถิติ ( $p>0.05$ ) แต่มีความแตกต่างกับชุดควบคุมที่มีอัตราการตาย 60 เปอร์เซ็นต์ ส่วนที่ 20 และ 30 วัน พบร่วมว่าการให้วัคซีนทั้ง 2 แบบ มีความแตกต่างกันอย่างมีนัยสำคัญทางสถิติ ( $p<0.05$ ) โดยการฉีดวัคซีนผสม CFA มีอัตราการตาย 1.67 และ 16.67 เปอร์เซ็นต์ ตามลำดับ ซึ่งต่ำกว่าการฉีดวัคซีนไม่ผสม CFA ที่มีค่าเท่ากับ 28.33 และ 43.33 เปอร์เซ็นต์ ตามลำดับ (ตารางที่ 13, ภาพที่ 20)

#### ค่าแอนติบอดี้ไทด์อร์

ผลการทดลองพบว่าในชุดควบคุมมีค่าแอนติบอดี้ไทด์อร์เท่ากับ 0 และค่าแอนติบอดี้ไทด์อร์ของการให้วัคซีนทั้ง 2 แบบ มีความแตกต่างกันทางสถิติ ( $p<0.05$ ) ที่ 10, 20 และ 30 วัน หลังจากฉีดวัคซีน โดยการฉีดวัคซีนผสม CFA มีค่าแอนติบอดี้ไทด์อร์เท่ากับ 1:64, 1:128 และ 1:64 ตามลำดับ ซึ่งสูงกว่าการฉีดวัคซีนไม่ผสม CFA อย่างมีนัยสำคัญ ที่มีค่าเท่ากับ 1:32, 1:32 และ 1:32 ตามลำดับ (ตารางที่ 14 และภาพที่ 21)

ตารางที่ 13 เปรียบเทียบอัตราการตาย (%) และความสัมพันธ์เปอร์เซ็นต์การลดตาย (RPS) ของปลากระเพงขาวที่ได้รับวัคซีนด้วยวิธีการฉีดเข้าช่องห้อง

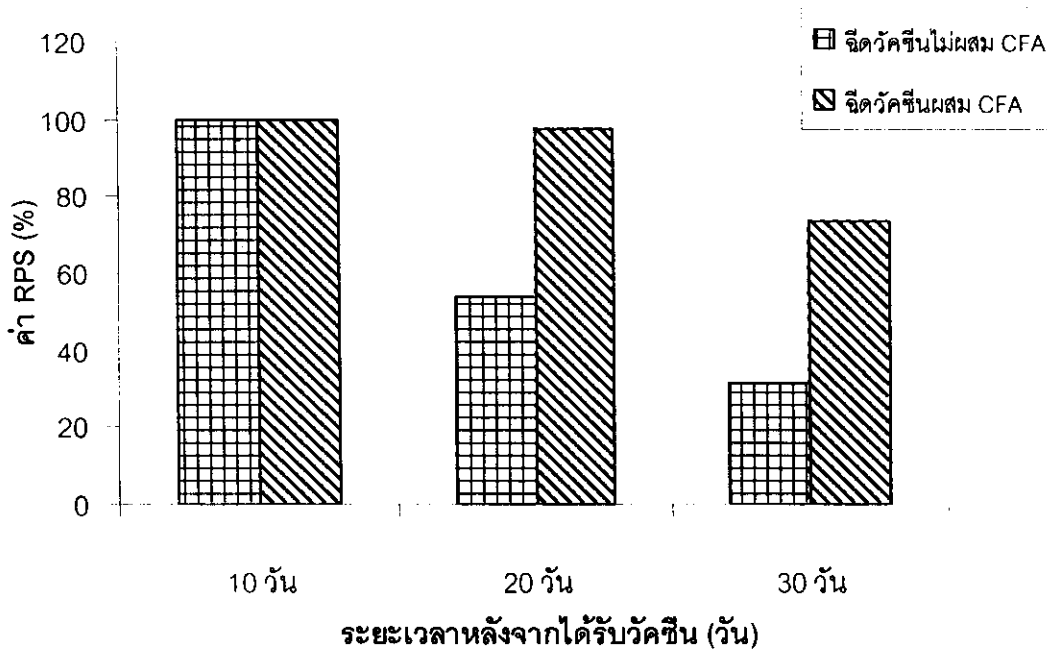
การให้วัคซีน	จำนวนวันหลังจากได้รับวัคซีน					
	10 วัน		20 วัน		30 วัน	
	อัตราการตาย (%)	ค่า RPS (%)	อัตราการตาย (%)	ค่า RPS (%)	อัตราการตาย (%)	ค่า RPS (%)
ชุดควบคุม	60.00 <sup>a</sup>	-	61.67 <sup>a</sup>	-	63.33 <sup>a</sup>	-
วัคซีนไม่ผสม CFA	0.00 <sup>b</sup>	100 <sup>a</sup>	28.33 <sup>b</sup>	54.06 <sup>a</sup>	43.33 <sup>b</sup>	31.58 <sup>a</sup>
วัคซีนที่ผสม CFA	0.00 <sup>b</sup>	100 <sup>a</sup>	1.67 <sup>c</sup>	97.29 <sup>b</sup>	16.67 <sup>c</sup>	73.68 <sup>b</sup>

ตัวเลขในแนวดังที่กำกับด้วยตัวอักษรต่างกัน มีความแตกต่างอย่างมีนัยสำคัญทางสถิติที่ระดับความเชื่อมั่น 95 เปอร์เซ็นต์ ( $p<0.05$ )

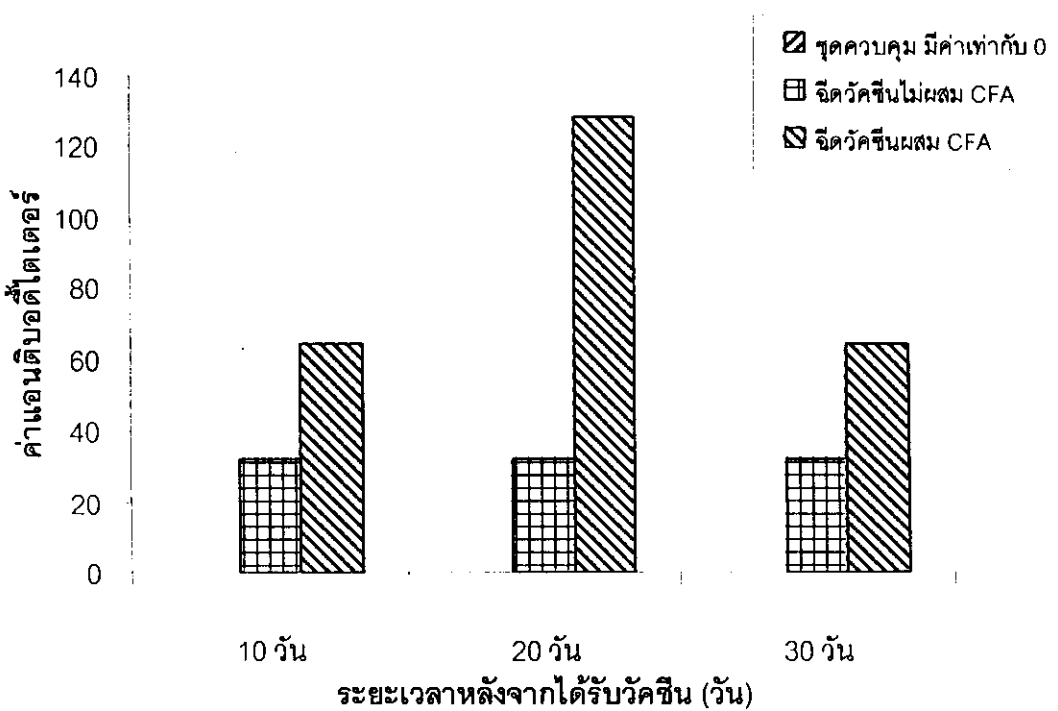
ตารางที่ 14 เปรียบเทียบค่าแอนติบอดี้ไทด์อร์ของปลากระเพงขาว ที่ได้รับวัคซีนด้วยวิธีการฉีดเข้าช่องห้อง

จำนวนวันหลังจากได้รับวัคซีน	ค่าแอนติบอดี้ไทด์อร์		
	ชุดควบคุม	วัคซีนไม่ผสม CFA	วัคซีนผสม CFA
10 วัน	0 <sup>a</sup>	1:32 <sup>b</sup>	1:64 <sup>c</sup>
20 วัน	0 <sup>a</sup>	1:32 <sup>b</sup>	1:128 <sup>c</sup>
30 วัน	0 <sup>a</sup>	1:32 <sup>b</sup>	1:64 <sup>c</sup>

ตัวเลขในแนวนอนที่กำกับด้วยตัวอักษรต่างกัน มีความแตกต่างอย่างมีนัยสำคัญทางสถิติที่ระดับความเชื่อมั่น 95 เปอร์เซ็นต์ ( $p<0.05$ )



ภาพที่ 20 เปรียบเทียบค่า RPS ของปลากะพงขาวที่ได้รับวัคซีนด้วยวิธีการฉีดเข้าช่องท้อง



ภาพที่ 21 เปรียบเทียบค่าแอนติบอดี้ไทด์อเรอร์ของปลากะพงขาวที่ได้รับวัคซีนด้วยวิธีการฉีดเข้าช่องท้อง

## การให้วัคซีนด้วยวิธีการแร่

ในการทดลองให้วัคซีนด้วยวิธีการแร่ 2 แบบ คือ การแร่หัววัคซีนโดยตรงเป็นเวลา 30 วินาที และ การแร่หัววัคซีนแบบ hyperosmotic โดยแร่ในน้ำทะเลที่มีความเค็ม 35 ส่วนในพันส่วน เป็นเวลา 1 นาที (ความเค็มที่ใช้เดิมปีเตาปูกตี 10 ส่วนในพันส่วน) แล้วนำไปแร่หัววัคซีนอีก 30 วินาที จากนั้นเก็บข้อมูลมาวิเคราะห์ อัตราการตาย ค่า RPS และค่าแอนติบอดี้ไทด์เตอร์ ในวันที่ 10, 20 และ 30 วัน หลังจากเริ่มแร่หัววัคซีน

### อัตราการตาย

หลังจากฉีดเชื้อ *Streptococcus sp.* ให้แก่ปลาที่ได้รับวัคซีน แล้วคำนวณค่าอัตราการตายของปลาพงขาว พนว่าที่ 10 วัน อัตราการตายของปลาพงขาว จะมีความแตกต่างกันทางสถิติ ( $p<0.05$ ) โดยค่าของชุดควบคุมมีอัตราการตาย 65 เปอร์เซ็นต์ ที่ 20 วัน พนว่าอัตราการตายของชุดควบคุม และชุดที่แร่หัววัคซีนโดยตรง ไม่มีความแตกต่างกันทางสถิติ มีค่าเท่ากับ 68.33 และ 61.67 เปอร์เซ็นต์ ตามลำดับ แต่จะมีความแตกต่างกันทางสถิติกับชุดที่แร่หัววัคซีนแบบ hyperosmotic ที่มีค่าเท่ากับ 20 เปอร์เซ็นต์ ส่วนที่ 30 วัน พนว่าอัตราการตายของชุดควบคุมและชุดที่แร่หัววัคซีนโดยตรง ไม่มีความแตกต่างกันทางสถิติ ( $p<0.05$ ) มีค่าเท่ากับ 70 และ 65 เปอร์เซ็นต์ ตามลำดับ แต่มีความแตกต่างกันทางสถิติกับชุดที่แร่หัววัคซีนแบบ hyperosmotic ที่มีค่าเท่ากับ 16.67 เปอร์เซ็นต์ (ตารางที่ 15, ภาพที่ 22)

### ค่าแอนติบอดี้ไทด์เตอร์

พนว่าที่ 10 วัน ค่าแอนติบอดี้ไทด์เตอร์ของปลาพงขาวที่ได้รับวัคซีนด้วยวิธีการแร่หัววัคซีนโดยตรงและการแร่หัววัคซีนแบบ hyperosmotic ไม่มีความแตกต่างกันทางสถิติ โดยมีค่าเท่ากับ 1:8 และ 1:16 ตามลำดับ แต่จะมีความแตกต่างกับชุดควบคุมที่มีค่าเท่ากับ 0 สำหรับการทดลองที่ 20 วัน พนว่าการให้วัคซีนทั้ง 2 แบบ มีความแตกต่างกันทางสถิติ ซึ่งมีค่าเท่ากับ 1:8 และ 1:64 ตามลำดับ ส่วนการทดลองที่ 30 วัน พนว่าชุดควบคุมและชุดที่แร่หัววัคซีนโดยตรงไม่มีความแตกต่างกันทางสถิติที่มีค่าเท่ากับ 0 และ 1:4 ตามลำดับ แต่มีความแตกต่างกันทางสถิติกับชุดที่แร่หัววัคซีนแบบ hyperosmotic ซึ่งมีค่าแอนติบอดี้ไทด์เตอร์สูงสุด เท่ากับ 1:16 (ตารางที่ 16 และภาพที่ 23)

ตารางที่ 15 เปรียบเทียบอัตราการตาย (%) และความสัมพันธ์เปอร์เซ็นต์การรอดตาย (RPS) ของปลากระเพงขาวที่ได้รับวัคซีนด้วยวิธีการแข่

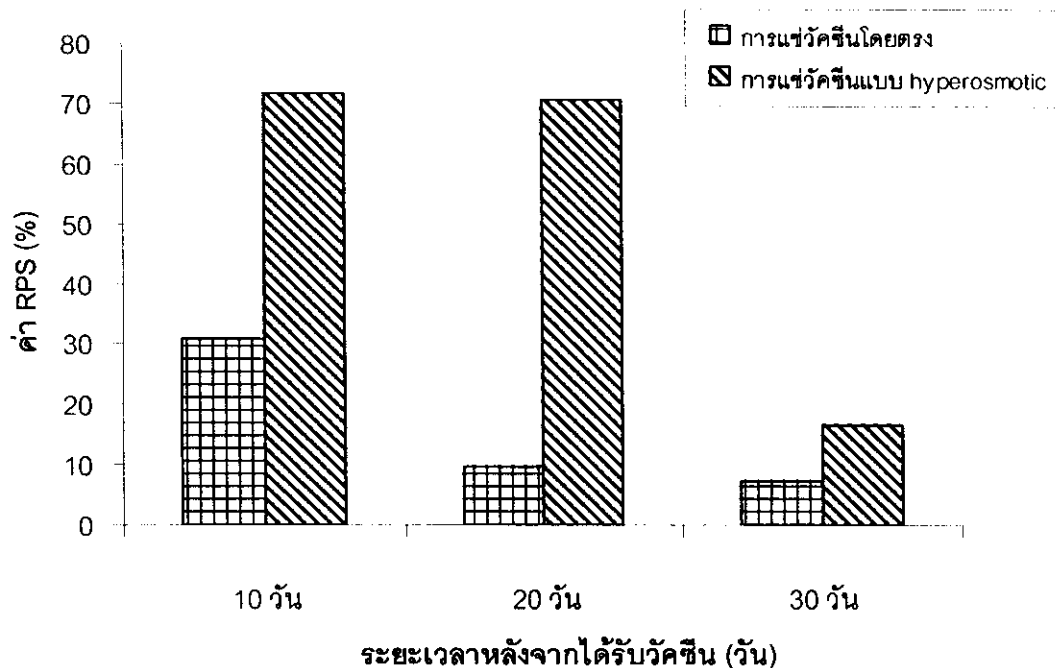
การให้วัคซีน	จำนวนวันหลังจากได้รับวัคซีน					
	10 วัน		20 วัน		30 วัน	
	อัตราการ ตาย (%)	ค่า RPS (%)	อัตราการ ตาย (%)	ค่า RPS (%)	อัตราการ ตาย (%)	ค่า RPS (%)
ชุดควบคุม	65.00 <sup>a</sup>	-	68.33 <sup>a</sup>	-	70.00 <sup>a</sup>	-
แข็งวัคซีนโดยตรง	45.00 <sup>b</sup>	30.77 <sup>a</sup>	61.67 <sup>a</sup>	9.75 <sup>a</sup>	65.00 <sup>a</sup>	7.14 <sup>a</sup>
แข็งวัคซีนแบบ hyperosmotic	18.33 <sup>c</sup>	71.80 <sup>a</sup>	20.00 <sup>b</sup>	70.73 <sup>b</sup>	58.33 <sup>b</sup>	16.67 <sup>a</sup>

ตัวเลขในแนวนี้ที่กำกับด้วยตัวอักษรต่างกัน มีความแตกต่างกันอย่างมีนัยสำคัญทางสถิติที่ระดับความเชื่อมั่น 95 เปอร์เซ็นต์ ( $p<0.05$ )

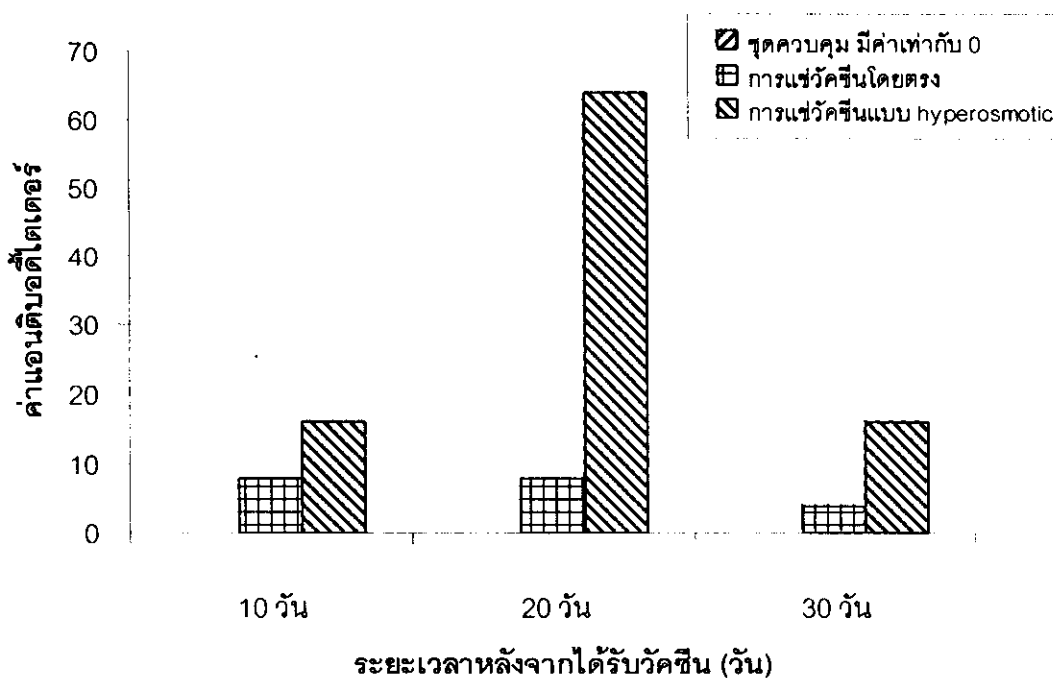
ตารางที่ 16 เปรียบเทียบค่าแอนติบอดีไทด์ของปลากระเพงขาว ที่ได้รับวัคซีนด้วยวิธีการแข่

วัคซีน	จำนวนวัน หลังจากได้รับ วัคซีน	ค่าแอนติบอดีไทด์		
		ชุดควบคุม	แข็งวัคซีนโดยตรง	แข็งวัคซีนแบบ hyperosmotic
	10 วัน	0 <sup>a</sup>	1:8 <sup>b</sup>	1:16 <sup>b</sup>
	20 วัน	0 <sup>a</sup>	1:8 <sup>b</sup>	1:64 <sup>c</sup>
	30 วัน	0 <sup>a</sup>	1:4 <sup>a</sup>	1:16 <sup>b</sup>

ตัวเลขในแนวนอนที่กำกับด้วยตัวอักษรต่างกัน มีความแตกต่างกันอย่างมีนัยสำคัญทางสถิติที่ระดับความเชื่อมั่น 95 เปอร์เซ็นต์ ( $p<0.05$ )



ภาพที่ 22 เปรียบเทียบค่า RPS ของปลากระพงขาว ที่ได้รับวัคซีนด้วยวิธีการเย็บ



ภาพที่ 23 เปรียบเทียบค่าmean titer ต่ำสุดของปลากระพงขาว ที่ได้รับวัคซีนด้วยวิธีการเย็บ

## การให้วัคซีนด้วยวิธีการกิน

การทดลองให้วัคซีนด้วยวิธีการกิน 2 แบบ คือ การกินอาหารผสมวัคซีนและการแช่วัคซีนร่วมกับการกินอาหารผสมวัคซีน จากนั้นเก็บข้อมูลมาวิเคราะห์อัตราการตาย ค่า RPS และค่าแอนติบอดี้ไทด์เตอร์ ในวันที่ 10, 20 และ 30 วัน หลังจากเริ่มนักกินวัคซีน

### อัตราการตาย

หลังจากฉีดเชื้อ *Streptococcus sp.* ให้แก่ปลาที่ได้รับวัคซีน แล้วคำนวณค่าอัตราการตายของปลาจะพบว่าอัตราการตายของปลาจะพงขาวที่ 10 และ 20 วัน การให้วัคซีนด้วยวิธีการให้ทั้ง 2 แบบ ปลาจะมีอัตราการระดับต่ำสูงถึง 100 เปอร์เซ็นต์ ซึ่งไม่มีความแตกต่างกันทางสถิติ แต่มีความแตกต่างกับชุดควบคุมที่มีอัตราการตาย 66.67 และ 66.67 เปอร์เซ็นต์ ตามลำดับ ส่วนการทดลองที่ 30 วัน พบว่าการให้วัคซีนทั้ง 2 แบบไม่มีความแตกต่างกันทางสถิติ ซึ่งมีอัตราการตายเท่ากับ 33.33 และ 26.67 เปอร์เซ็นต์ ตามลำดับ แต่จะมีความแตกต่างกับชุดควบคุมอย่างมีนัยสำคัญทางสถิติ ( $p<0.05$ ) ที่มีอัตราการตาย 70 เปอร์เซ็นต์ (ตารางที่ 17, ภาพที่ 24)

### ค่าแอนติบอดี้ไทด์เตอร์

จากการทดลองพบว่าค่าแอนติบอดี้ไทด์เตอร์ที่ 10 วัน ไม่มีความแตกต่างกันทางสถิติ ระหว่างชุดกินอาหารผสมวัคซีนกับชุดที่แช่วัคซีนร่วมกับการกินอาหารผสมวัคซีน ซึ่งมีค่าเท่ากับ 1:32 และ 1:64 ตามลำดับ การทดลองที่ 20 วัน พบว่าการให้วัคซีนด้วยวิธีการกินจะไม่มีความแตกต่างกันทางสถิติ มีค่าเท่ากับ 1:64 และ 1:128 ส่วนการทดลองที่ 30 วัน พบว่า การให้วัคซีนด้วยวิธีการกินจะไม่มีความแตกต่างกันทางสถิติ มีค่าเท่ากับ 1:16 และ 1:32 แต่จะมีความแตกต่างกับชุดควบคุมอย่างมีนัยสำคัญทางสถิติ ( $p<0.05$ ) ที่มีค่าเท่ากับ 0 (ตารางที่ 18 และภาพที่ 25)

ตารางที่ 17 เปรียบเทียบอัตราการตาย (%) และความสัมพันธ์เปอร์เซ็นต์การรอดตาย (RPS) ของปลากระเพงขาวที่ได้รับวัคซีนด้วยวิธีการกิน

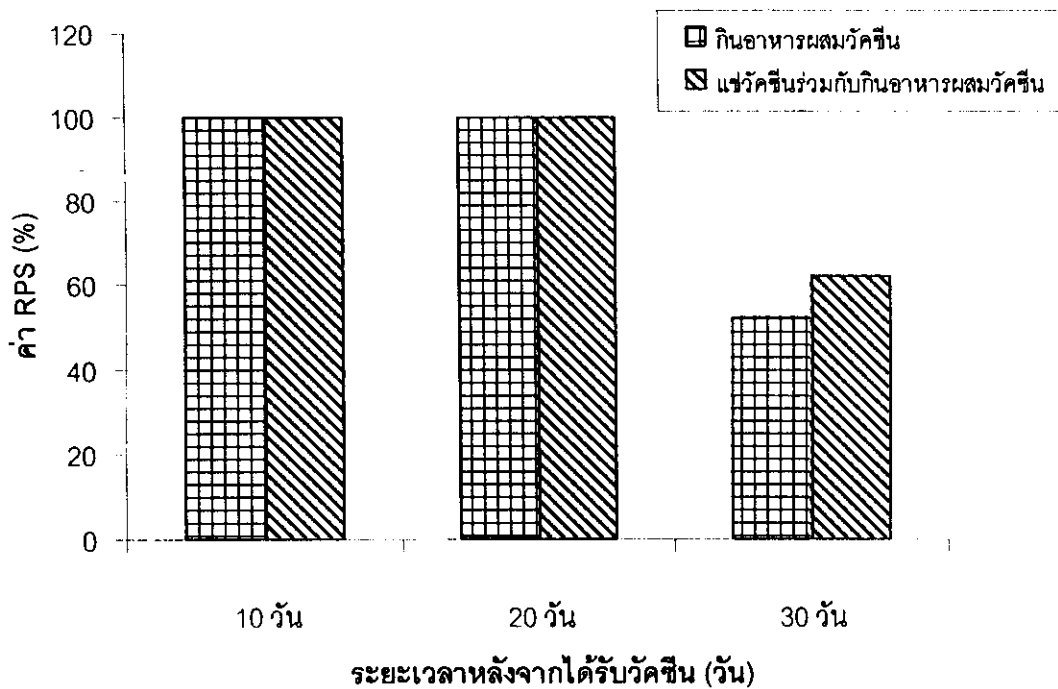
การให้วัคซีน	จำนวนวันหลังจากได้รับวัคซีน					
	10 วัน		20 วัน		30 วัน	
	อัตราการตาย (%)	ค่า RPS (%)	อัตราการตาย (%)	ค่า RPS (%)	อัตราการตาย (%)	ค่า RPS (%)
ชุดควบคุม	66.67 <sup>a</sup>	-	66.67 <sup>a</sup>	-	70.00 <sup>a</sup>	-
กินอาหารผสมวัคซีน	0.00 <sup>b</sup>	100 <sup>a</sup>	0.00 <sup>b</sup>	100 <sup>a</sup>	33.33 <sup>b</sup>	52.39 <sup>a</sup>
แฟร์วัคซีนร่วมกับกินอาหารผสมวัคซีน	0.00 <sup>b</sup>	100 <sup>a</sup>	0.00 <sup>b</sup>	100 <sup>a</sup>	26.67 <sup>b</sup>	61.90 <sup>a</sup>

ตัวเลขในแนลงที่กำกับด้วยตัวอักษรต่างกัน มีความแตกต่างอย่างมีนัยสำคัญทางสถิติที่ระดับความเชื่อมั่น 95 เปอร์เซ็นต์ ( $p<0.05$ )

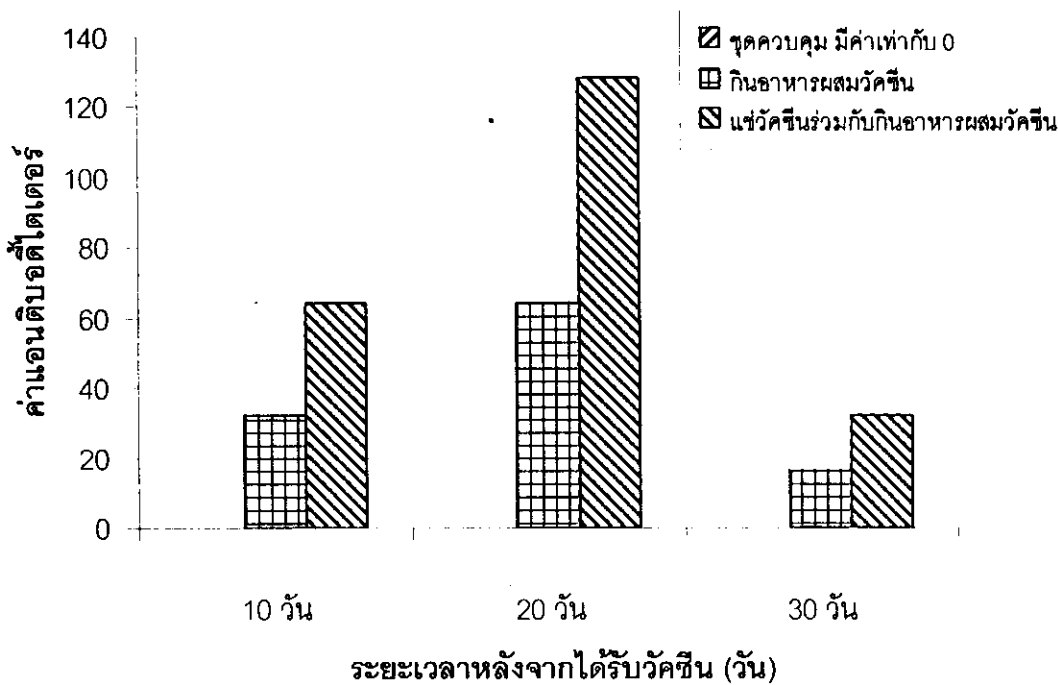
ตารางที่ 18 เปรียบเทียบค่าแอนติบอดี้ไทด์เรอร์ของปลากระเพงขาว ที่ได้รับวัคซีนด้วยวิธีการกิน

จำนวนวันหลังจากได้รับวัคซีน	ค่าแอนติบอดี้ไทด์เรอร์			
	ชุดควบคุม	กินอาหารผสมวัคซีน	แฟร์วัคซีน+กินอาหารผสมวัคซีน	กินอาหารผสมวัคซีน
10 วัน	0 <sup>a</sup>	1:32 <sup>b</sup>	1:64 <sup>b</sup>	
20 วัน	0 <sup>a</sup>	1:64 <sup>b</sup>	1:128 <sup>b</sup>	
30 วัน	0 <sup>a</sup>	1:16 <sup>b</sup>	1:32 <sup>b</sup>	

ตัวเลขในแนลงที่กำกับด้วยตัวอักษรต่างกัน มีความแตกต่างอย่างมีนัยสำคัญทางสถิติที่ระดับความเชื่อมั่น 95 เปอร์เซ็นต์ ( $p<0.05$ )



ภาพที่ 24 เปรียบเทียบค่า RPS ของปลากระพงขาว ที่ได้รับวัคซีนด้วยวิธีการกิน



ภาพที่ 25 เปรียบเทียบค่าแอนติบอดี้ไทด์เจลลี่ของปลากระพงขาว ที่ได้รับวัคซีนด้วยวิธีการกิน

เมื่อทำการเปรียบเทียบค่า RPS โดยการฉีดเชื้อ *Streptococcus sp.* เข้าช่องท้องปลากระพงขาว ที่ได้รับวัคซีนด้วยวิธีการต่างๆ การทดลองที่ 10 วันหลังจากได้รับวัคซีน พบว่า การแข่งวัคซีน การแข่งวัคซีนแบบ hyperosmotic และการให้วัคซีนด้วยวิธีการอื่นๆ มีความแตกต่างกันทางสถิติ ( $p<0.05$ ) โดยมีค่าเท่ากับ 30.77, 71.80 และ 100 เปอร์เซ็นต์ ตามลำดับ ส่วนการฉีดวัคซีนไม่ผสม CFA การฉีดวัคซีนผสม CFA การกินอาหารผสมวัคซีนและการแข่งวัคซีนร่วมกับการกินอาหารผสมวัคซีน มีค่า RPS เท่ากับ 100 เปอร์เซ็นต์ ซึ่งไม่มีความแตกต่างกันทางสถิติ ส่วนการทดลองที่ 20 วัน พบว่าการแข่งวัคซีน การฉีดวัคซีนไม่ผสม CFA และการแข่งวัคซีนแบบ hyperosmotic มีความแตกต่างกันทางสถิติ ( $p<0.05$ ) โดยมีค่าเท่ากับ 9.75, 54.06 และ 70.73 เปอร์เซ็นต์ ตามลำดับ ส่วนการฉีดวัคซีนผสม CFA การกินอาหารผสมวัคซีนและการแข่งวัคซีนร่วมกับการกินอาหารผสมวัคซีน ไม่มีความแตกต่างทางสถิติ ซึ่งมีค่า RPS เท่ากับ 97.29, 100 และ 100 เปอร์เซ็นต์ ตามลำดับ สำหรับการทดลองที่ 30 วัน พบว่าการแข่งวัคซีนและการฉีดวัคซีน มีความแตกต่างกันทางสถิติ มีค่าเท่ากับ 7.14 และ 31.58 เปอร์เซ็นต์ แต่การแข่งวัคซีนแบบ hyperosmotic มีค่า RPS เท่ากับ 16.67 เปอร์เซ็นต์ ไม่มีความแตกต่างทางสถิติ กับการแข่งวัคซีนและการฉีดวัคซีนไม่ผสม CFA ส่วนการกินอาหารผสมวัคซีนและการฉีดวัคซีนผสม CFA มีความแตกต่างกันทางสถิติ มีค่าเท่ากับ 52.39 และ 73.68 เปอร์เซ็นต์ แต่การแข่งวัคซีนร่วมกับการกินอาหารผสมวัคซีน มีค่าเท่ากับ 61.90 เปอร์เซ็นต์ ไม่มีความแตกต่างทางสถิติกับ การกินอาหารผสมวัคซีนและการฉีดวัคซีนผสม CFA (ตารางที่ 19)

ตารางที่ 19 เปรียบเทียบค่า RPS ของปลากระพงขาว ที่ได้รับวัคซีนด้วยวิธีการต่างๆ กัน

วิธีให้วัคซีน	ค่า RPS (%)		
	10 วัน	20 วัน	30 วัน
การฉีดวัคซีนไม่ผสม CFA	100.00 <sup>c</sup>	54.06 <sup>b</sup>	31.58 <sup>b</sup>
การฉีดวัคซีนผสม CFA	100.00 <sup>c</sup>	97.29 <sup>d</sup>	73.68 <sup>d</sup>
การแข่งวัคซีน	30.77 <sup>a</sup>	9.75 <sup>a</sup>	7.14 <sup>a</sup>
การแข่งวัคซีนแบบ hyperosmotic	71.80 <sup>b</sup>	70.73 <sup>c</sup>	16.67 <sup>ab</sup>
การกินอาหารผสมวัคซีน	100.00 <sup>c</sup>	100.00 <sup>d</sup>	52.39 <sup>c</sup>
การแข่งร่วมกับการกินอาหารผสมวัคซีน	100.00 <sup>c</sup>	100.00 <sup>d</sup>	61.90 <sup>cd</sup>

ตัวเลขในแนวนี้ที่กำกับด้วยตัวอักษรต่างกัน มีความแตกต่างอย่างมีนัยสำคัญทางสถิติที่ระดับความเชื่อมั่น 95 เปอร์เซ็นต์ ( $p<0.05$ )